

$0\nu\beta\beta$

Una sfida estrema

Fernando Ferroni
Sapienza Università di Roma
INFN Sezione di Roma



Roma - 12 Maggio 2011



Il fondo, solo il fondo, niente altro che il fondo

- E' una specialita' romana
- DBD , il segnale si sa calcolare, ma non si sa se il processo esiste
- VIRGO, il processo esiste ma non si sa calcolare
- LHC, l'Higgs si sa calcolare, dovrebbe esistere, se ne produce uno ogni 100 miliardi di interazioni (e poi bisogna osservarlo !)

Indice

- 👁 Majorana
- 👁 Massa del neutrino
- 👁 Doppio Beta
- 👁 Richieste sperimentali
- 👁 Fondo
- 👁 Esperimenti
- 👁 Prospettive

Majorana

once upon a time



TEORIA SIMMETRICA DELL'ELETTRONE E DEL POSITRONE

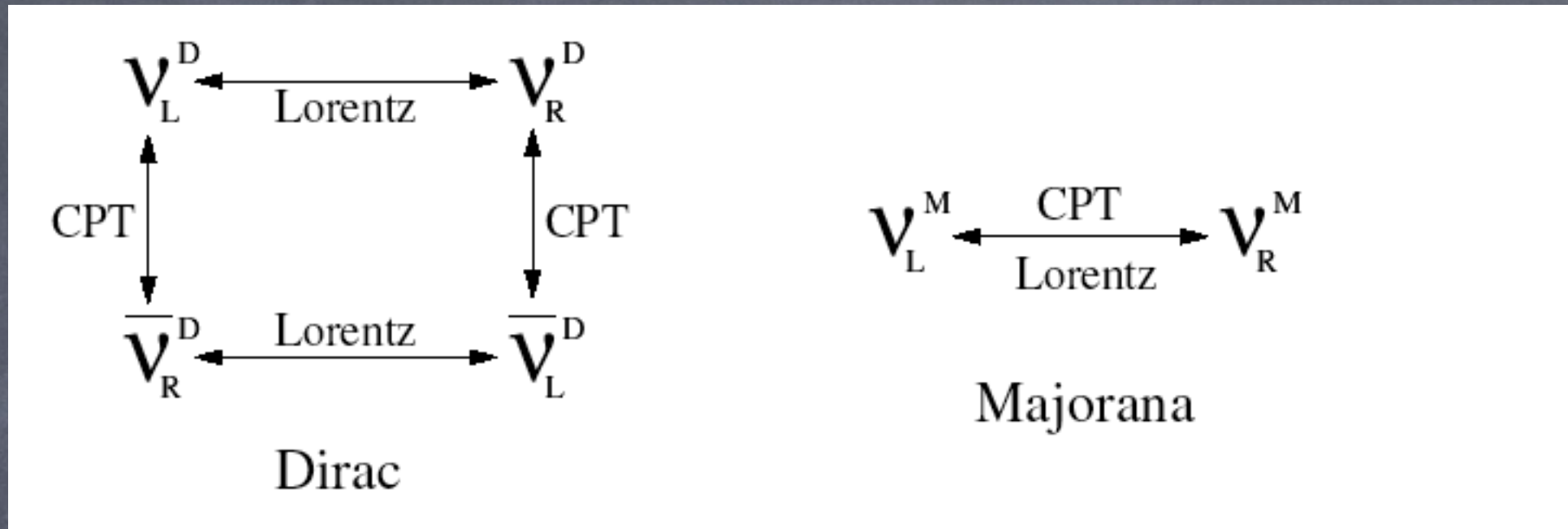
Nota di ETTORE MAJORANA

Il Nuovo Cimento, 14 (1937) 171

Sunto. - Si dimostra la possibilità di pervenire a una piena simmetrizzazione formale della teoria quantistica dell'elettrone e del positrone facendo uso di un nuovo processo di quantizzazione. Il significato delle equazioni di DIRAC ne risulta alquanto modificato e non vi è più luogo a parlare di stati di energia negativa; nè a presumere per ogni altro tipo di particelle, particolarmente neutre, l'esistenza di « antiparticelle » corrispondenti ai « vuoti » di energia negativa.

(when Science could still be described in Italian !)

Il neutrino massivo rende l'ipotesi molto attrente



L'elicità può girare sia per un neutrino di Dirac che per uno di Majorana. Tuttavia nel caso di Dirac il processo è vietato dalla conservazione del numero leptonico.

se Majorana avesse avuto ragione



$$\nu = \bar{\nu}$$

in pratica :

Violazione del Numero Leptonico

col caveat: i neutrini di massa nulla
non permettevano di verificare
l'ipotesi

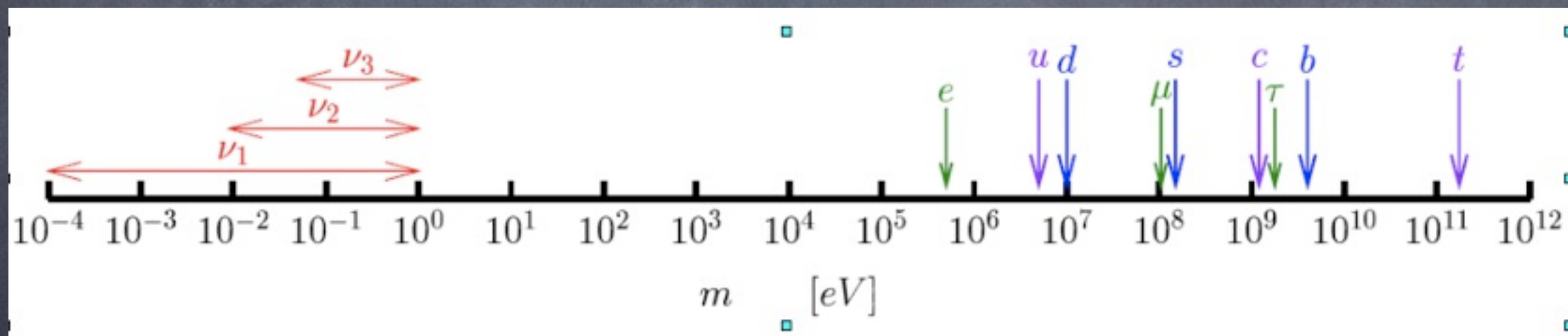
Infatti nessuno fece caso a Furry (1939) che suggerì il DBD senza emissione di neutrini come test del neutrino di Majorana.

Massa Neutrino

I neutrini pero' oscillano

$$U = \begin{matrix} \text{Atmospheric} \\ \begin{bmatrix} 1 & 0 & 0 \\ 0 & c_{23} & s_{23} \\ 0 & -s_{23} & c_{23} \end{bmatrix} \end{matrix} \begin{matrix} \text{Cross-Mixing} \\ \begin{bmatrix} c_{13} & 0 & s_{13}e^{-i\delta} \\ 0 & 1 & 0 \\ -s_{13}e^{i\delta} & 0 & c_{13} \end{bmatrix} \end{matrix} \begin{matrix} \text{Solar} \\ \begin{bmatrix} c_{12} & s_{12} & 0 \\ -s_{12} & c_{12} & 0 \\ 0 & 0 & 1 \end{bmatrix} \end{matrix}$$

e quindi hanno massa

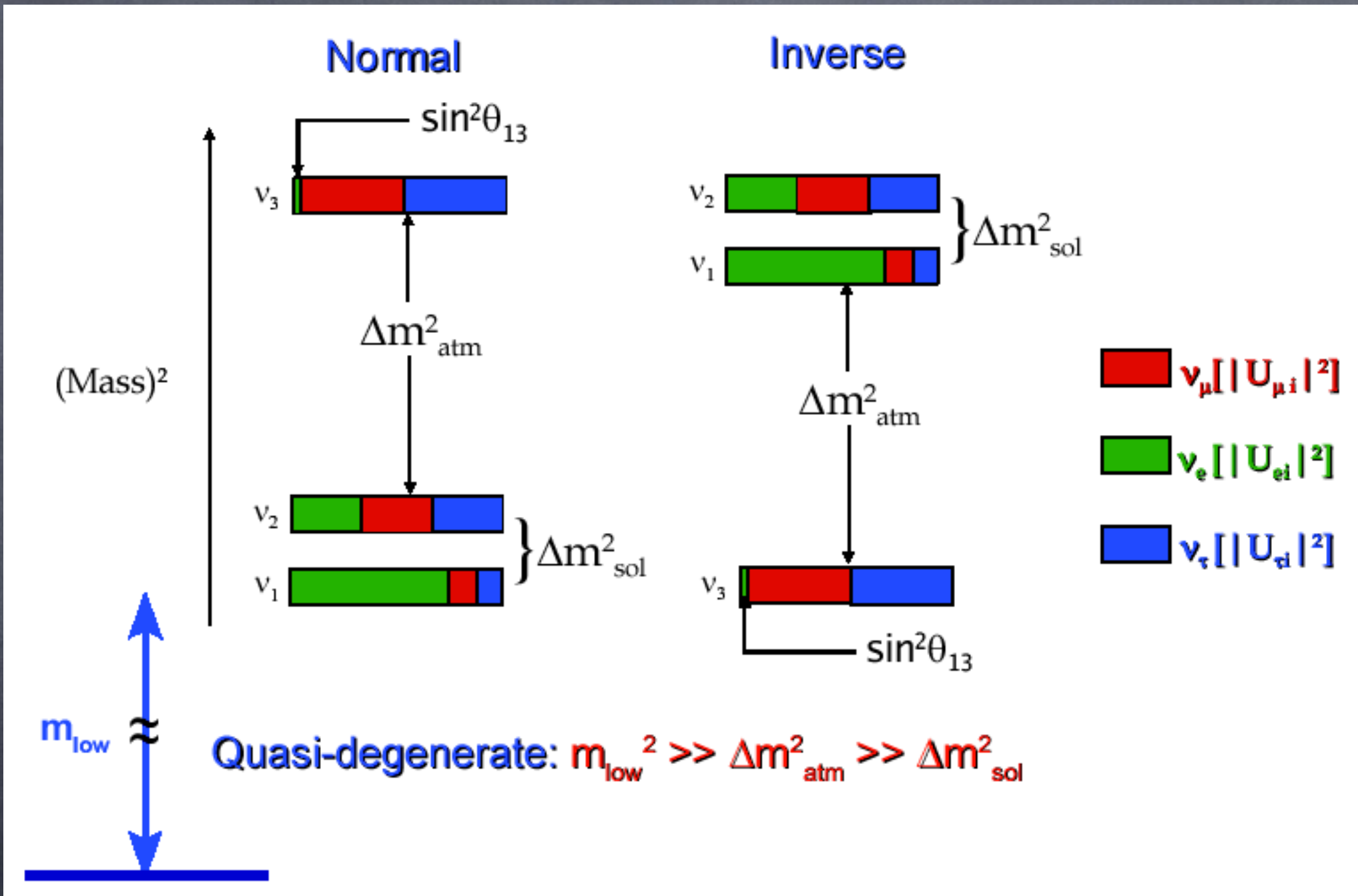


$$V_{CKM} = \begin{pmatrix} \blacksquare & & & \\ & \blacksquare & & \\ & & \blacksquare & \\ & & & \blacksquare \end{pmatrix}$$

V_{PMNS}



Tre casi:



Doppio Beta

Neutrino-less DBD ($0\nu\beta\beta$)

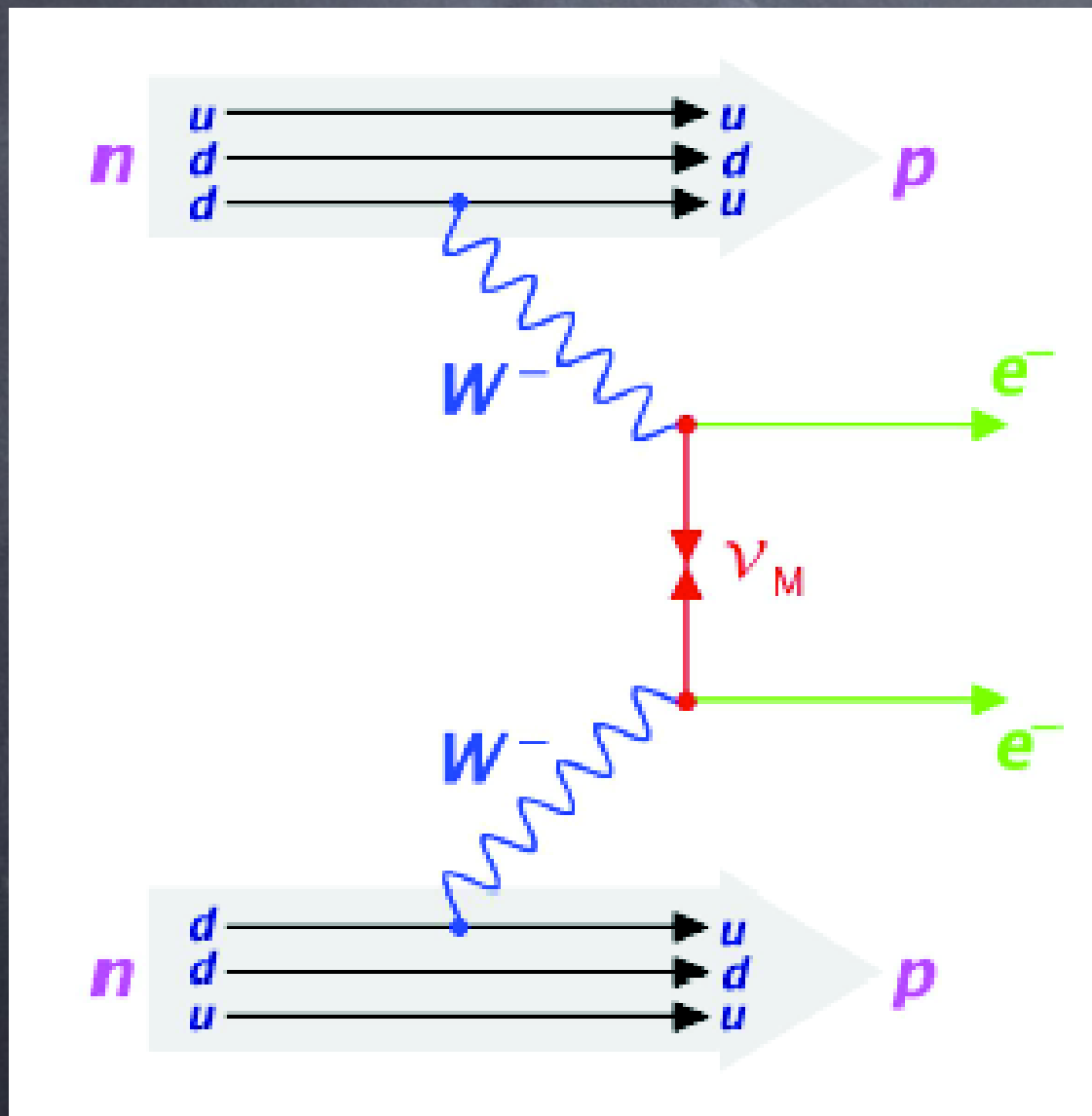
Solo se:

Majorana Neutrinos

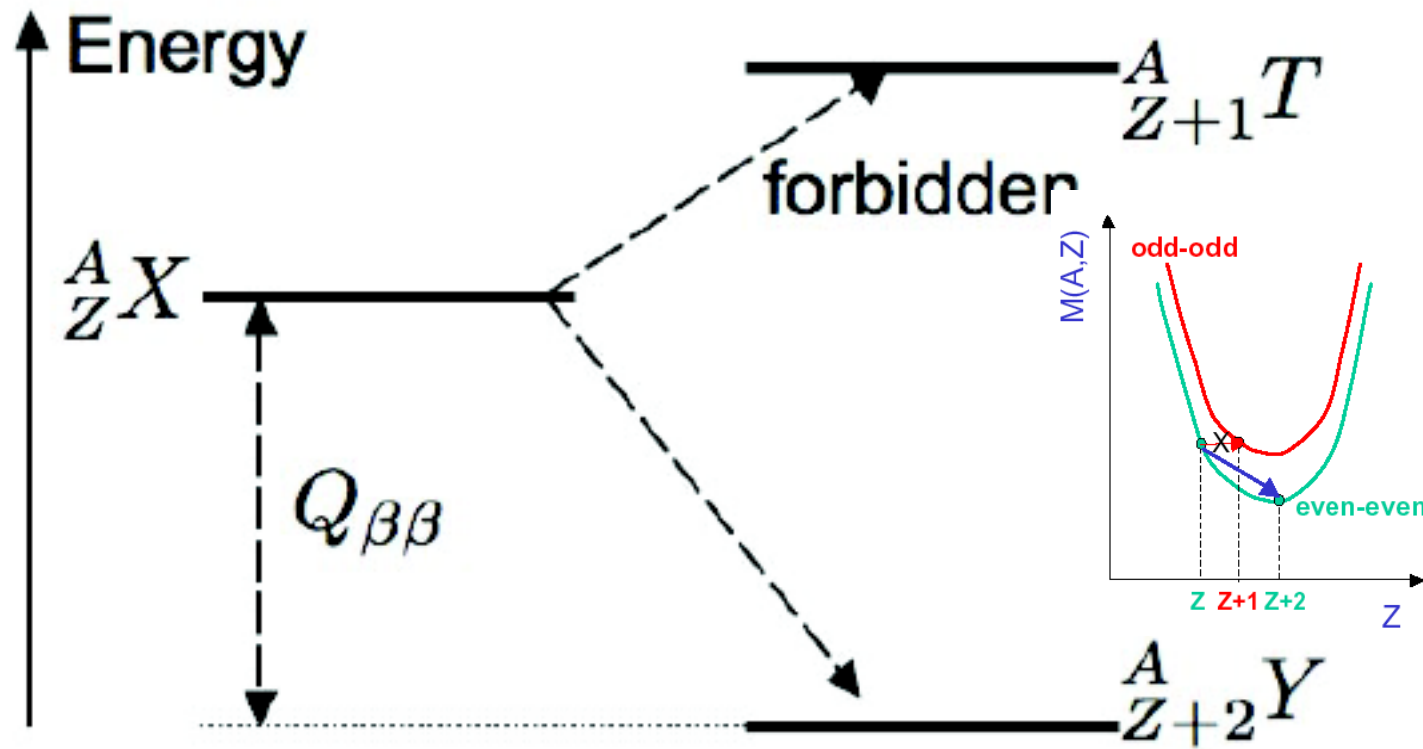
Massive Neutrinos

Se osservato:

Prova che il neutrino è una
particella di Majorana



Double Beta Decay



Predetto da Maria Goeppert-Mayer nel 1935

$T_{1/2} \sim 10^{20}$ years !!

Isotope	$Q_{\beta\beta}$ (MeV)	Isotopic abundance (%)
${}^{48}\text{Ca}$	4.271	0.0035
${}^{76}\text{Ge}$	2.039	7.8
${}^{82}\text{Se}$	2.995	9.2
${}^{96}\text{Zr}$	3.350	2.8
${}^{100}\text{Mo}$	3.034	9.6
${}^{116}\text{Cd}$	2.802	7.5
${}^{128}\text{Te}$	0.868	31.7
${}^{130}\text{Te}$	2.530	33.9
${}^{136}\text{Xe}$	2.479	8.9
${}^{150}\text{Nd}$	3.367	5.6

La massa del neutrino
vista dal Doppio Beta

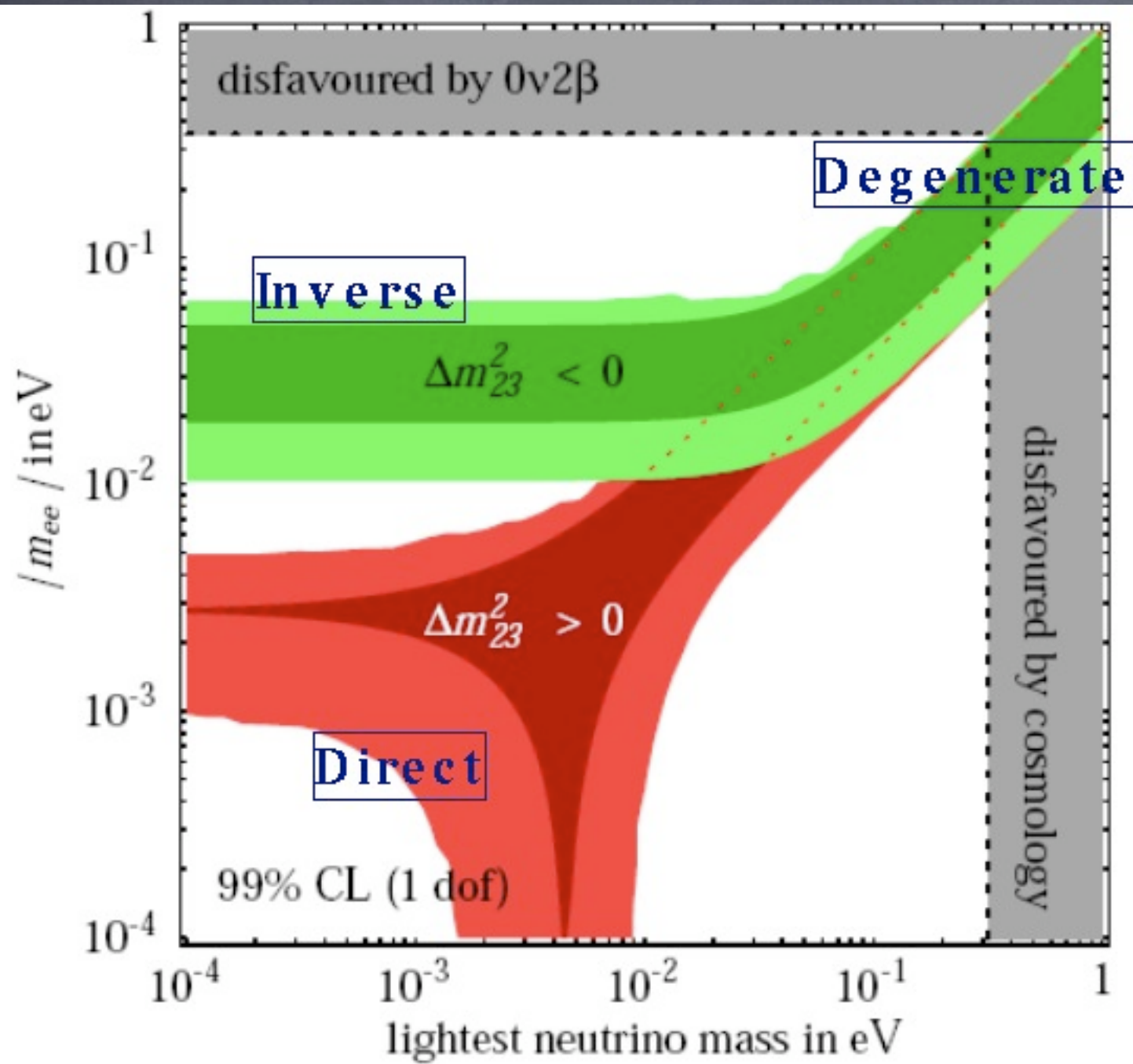
Ci misuriamo la massa ?

$$m_{\beta\beta} = \sum m_{\nu_k} U_{ek}^2 = \cos^2 \theta_{13} (m_1 \cos^2 \theta_{12} + m_2 e^{2i\alpha} \sin^2 \theta_{12}) + m_3 e^{2i\beta} \sin^2 \theta_{13}$$

beh...insomma.... **Una combinazione di masse, angoli e fasi**

$$m_{\beta\beta} = f (U_{ek}, m_{lightest}, \delta m_{sol}, \Delta m_{atm})$$

Un bel plot a colori



Dove e' la Fisica ?

Un volgare spazio delle fasi

la Fisica !

$$1/\tau = G(Q,Z) |M_{\text{nucl}}|^2 \langle M_{\beta\beta} \rangle^2$$

Quello che lo sperimentale
misura

Un problema per teorici
nucleari

La dura verità'
sperimentale

A che gioco giochiamo

expected
number of
 $\beta\beta_{0\nu}$ events

$$S = \frac{\overset{\text{detector mass}}{M} \cdot N_A \cdot \overset{\text{isotopic abundance}}{a}}{\underset{\text{molecular mass}}{W}} \cdot \ln(2) \cdot \frac{\overset{\text{live time}}{t}}{\underset{\beta\beta_{0\nu} \text{ half-life}}{T_{1/2}^{0\nu}}} \cdot \overset{\text{efficiency}}{\varepsilon}$$

mean number of
background counts
around the Q-value

$$B = \overset{\text{background rate in counts/keV/kg/y}}{b} \cdot \underset{\text{detector mass}}{M} \cdot \overset{\text{energy resolution (detector FWHM)}}{\Delta E} \cdot \underset{\text{live time}}{t}$$

Sensibilita'

$$\text{Sensitivity} \propto K \sqrt{\frac{M \cdot t}{B \cdot \Delta E}} \quad (\text{i.a.} \bullet \epsilon)$$

$$m_{\beta\beta} \propto \sqrt{1/\tau}$$

Ripeto perche' sia chiaro:
se vuoi fare un fattore 10 meglio sulla massa del
neutrino devi fare 100 sul lifetime

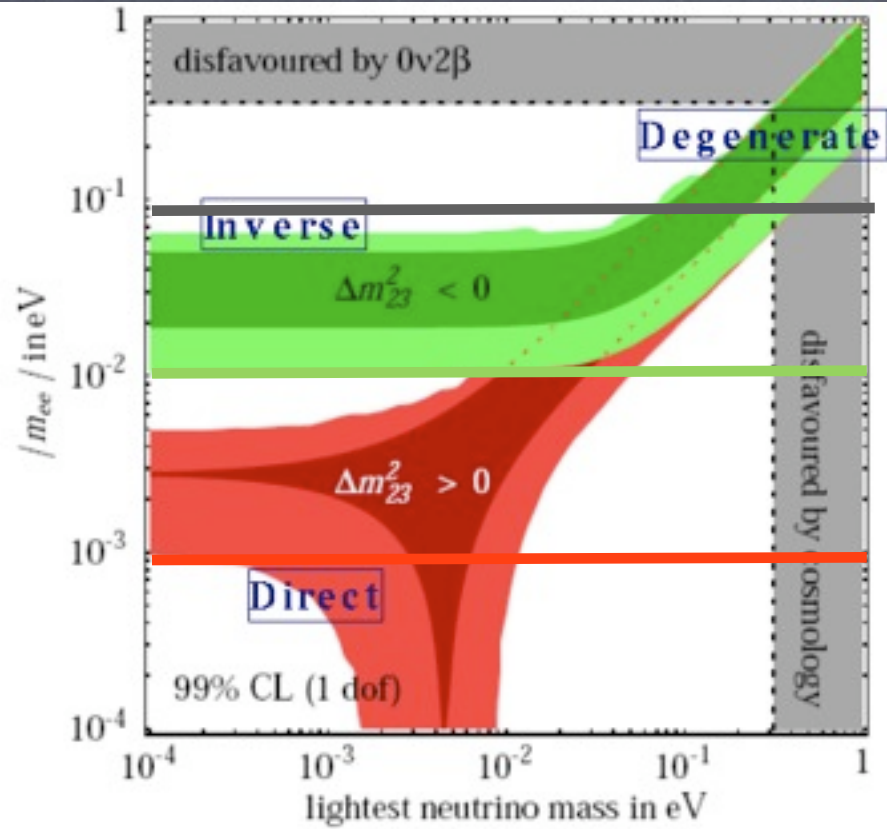
Valori di partenza

- abbondanza isotopica **0.3** (Te, il resto costa caro !)
- efficienza **0.9** (un calorimetro)
- tempo vivo **2** anni (duty cycle !)
- risoluzione di energia **5**(keV) al MeV (bolometro)
- massa **50** kg (qualche evento per un tempo di dimezzamento di 10^{25} anni)
- fondo **0.2** conteggi/keV/Kg/anno (quello che si e' saputo fare sino a oggi)

il problema
di fare
meglio

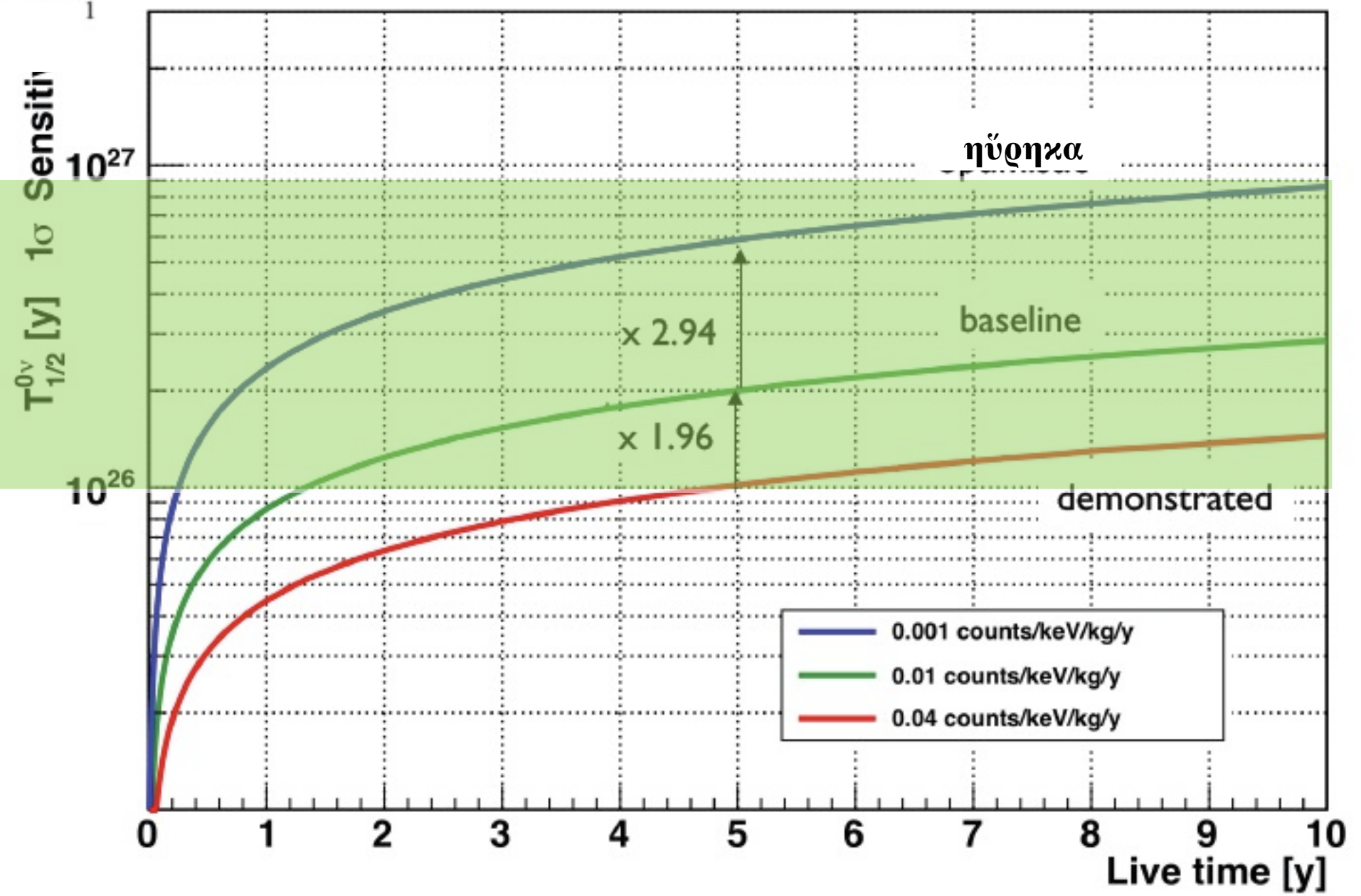
$$[T_{1/2}^{0\nu}]^1 = C \cdot \frac{\langle m_{\beta\beta} \rangle^2}{m_e^2}$$

$$C = |M^{0\nu}|^2 \cdot G^{0\nu} \text{ [y}^{-1}\text{]}$$



Inverted
hierarchy

TeO₂
case
(CUORE)



I limiti del ragionevole

Un nuovo esperimento vale la pena se migliora di un fattore 10 $m_{\beta\beta}$, quindi 100 la Sensibilita'

A voi la scelta:

M 5 Ton invece di 50 Kg

t 500 y invece di 5 y

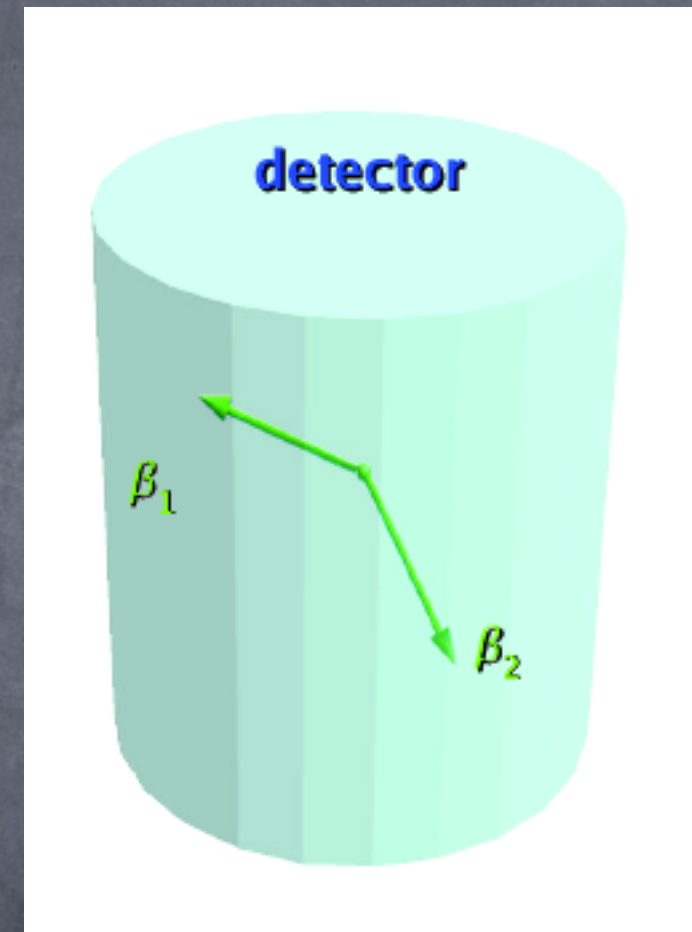
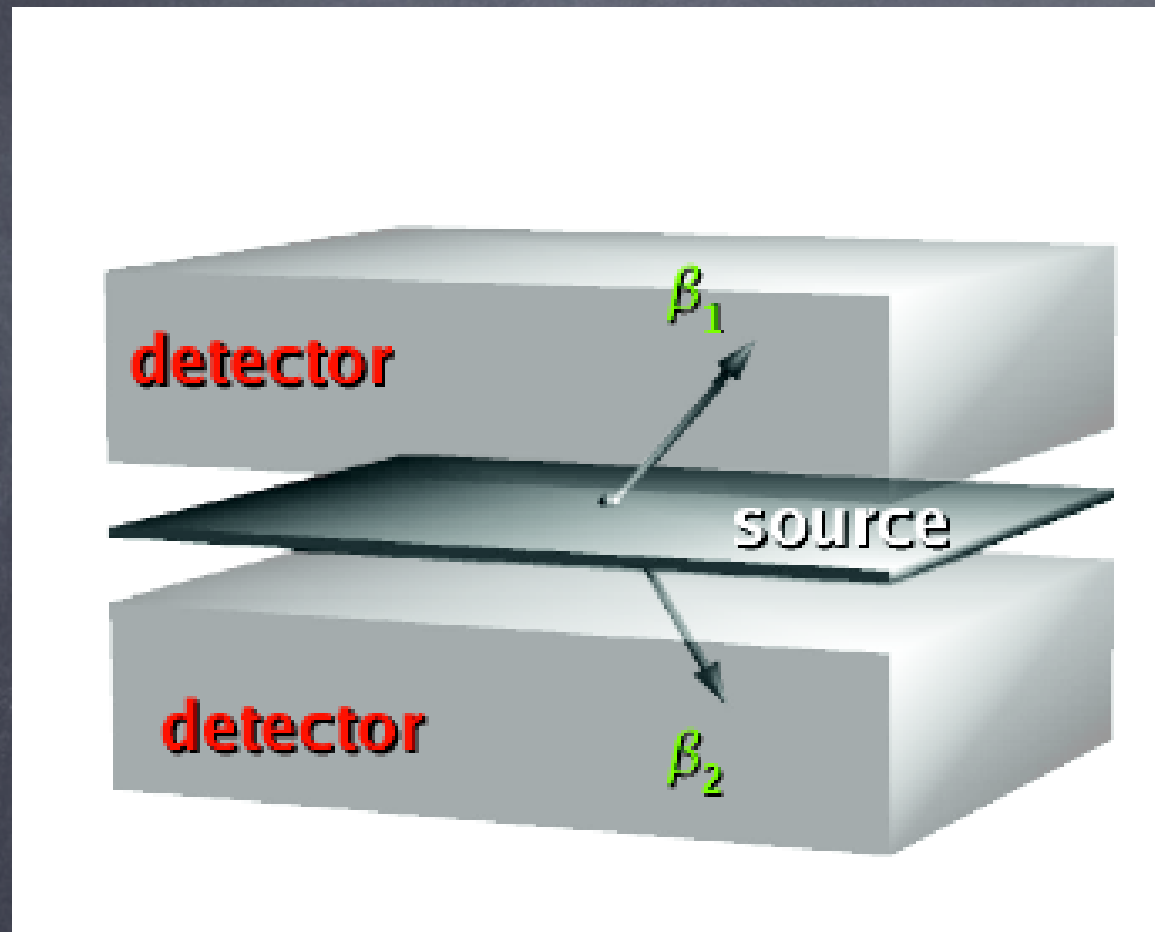
ΔE 50 eV invece di 5 keV

B 0.001 invece di 0.1(2)

Due possibilita' di rivelatore

Source \neq Detector

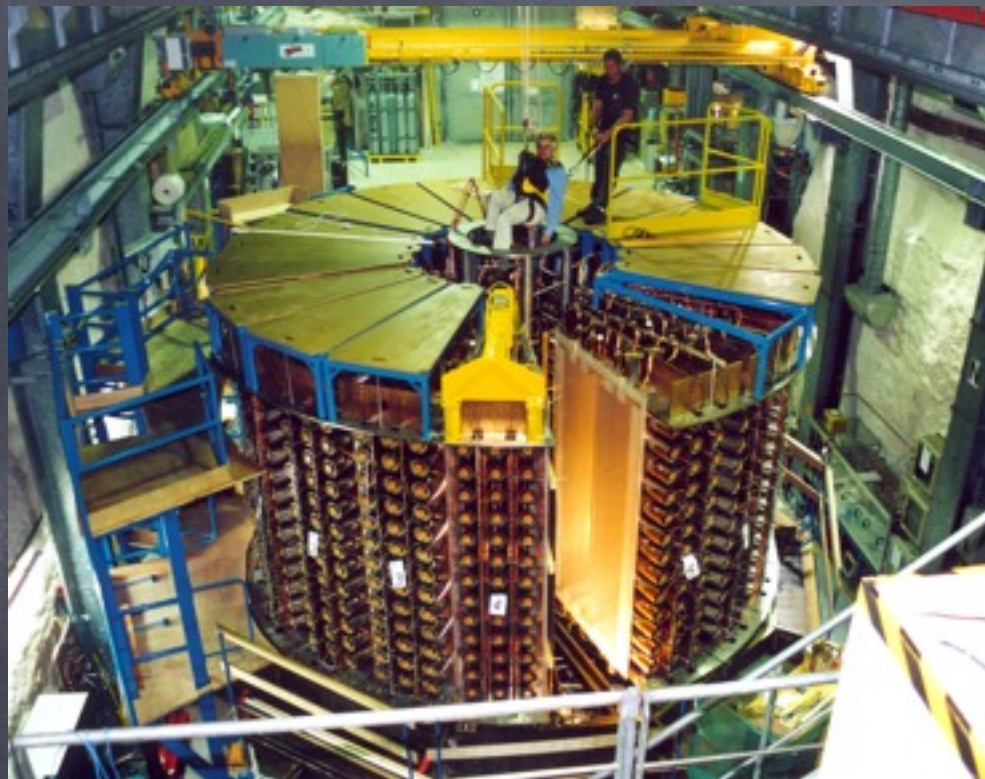
Source \subseteq Detector



+++ Topology, Background
--- $M, \Delta E, \varepsilon$

+++ $M, \Delta E, \varepsilon$
--- Topology, Background

NEMO @ Frejus LSM



Source: 10 kg of $\beta\beta$ isotopes
cylindrical, $S = 20 \text{ m}^2$, $e \sim 60 \text{ mg/cm}^2$

Tracking detector:

drift wire chamber operating
in Geiger mode (6180 cells)

Gas: He + 4% ethyl alcohol + 1% Ar + 0.1% H₂O

Calorimeter:

1940 plastic scintillators
coupled to low radioactivity PMTs

Magnetic field: 25 Gauss

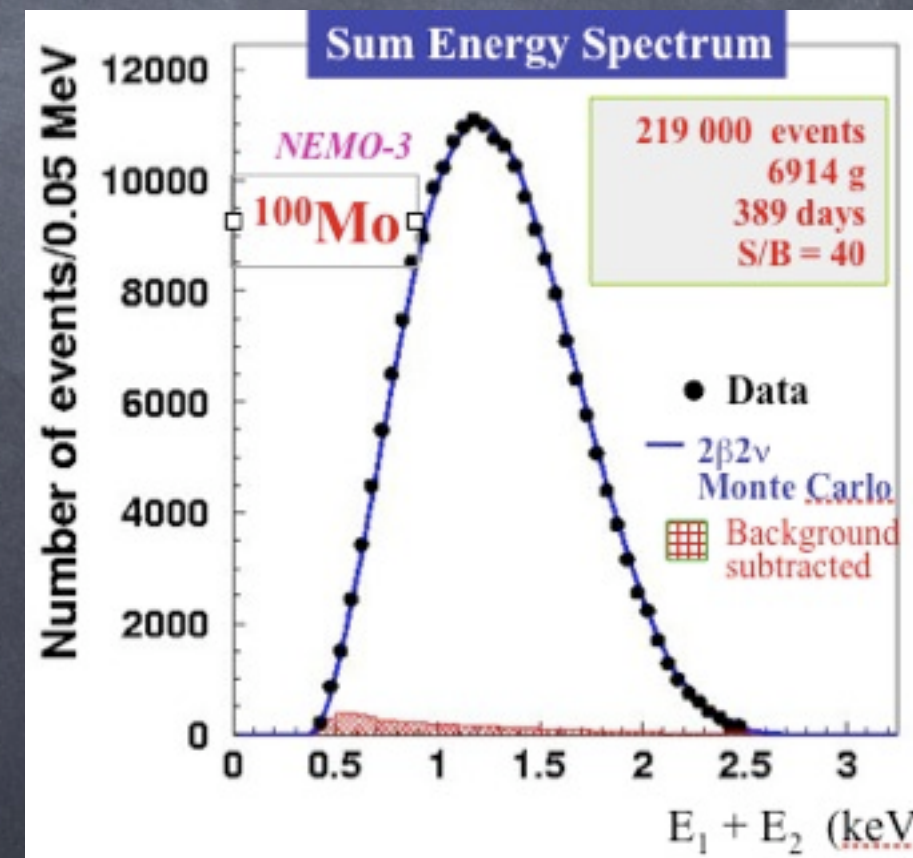
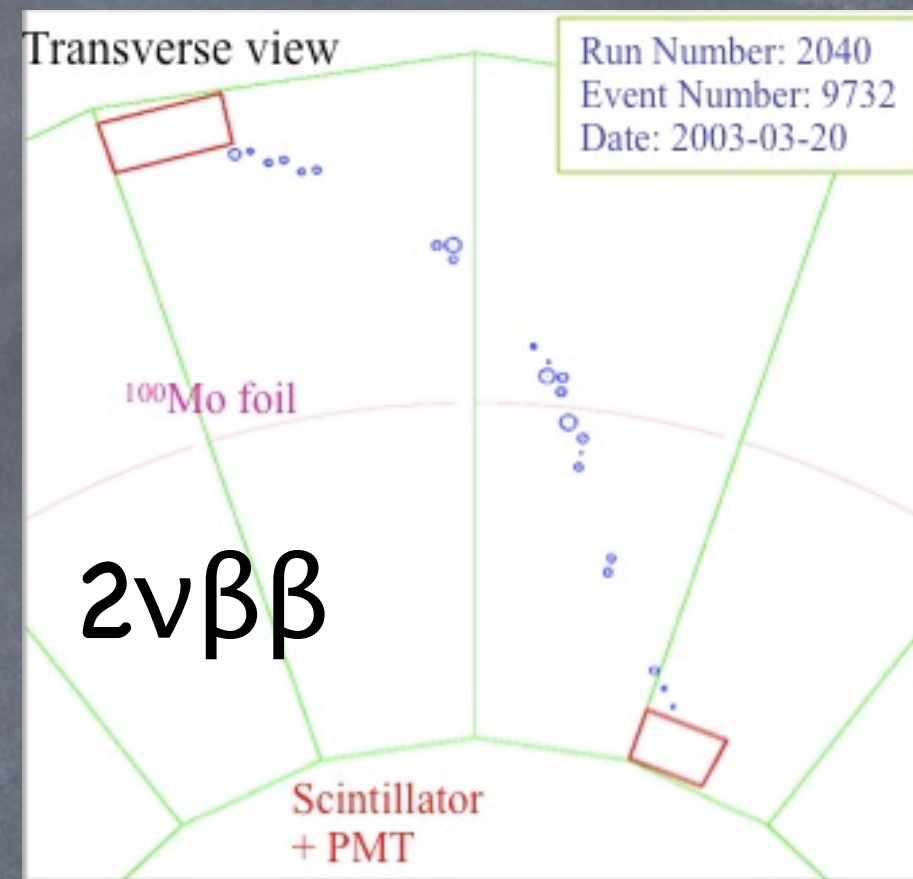
Gamma shield: Pure Iron ($e = 18\text{cm}$)

Neutron shield:

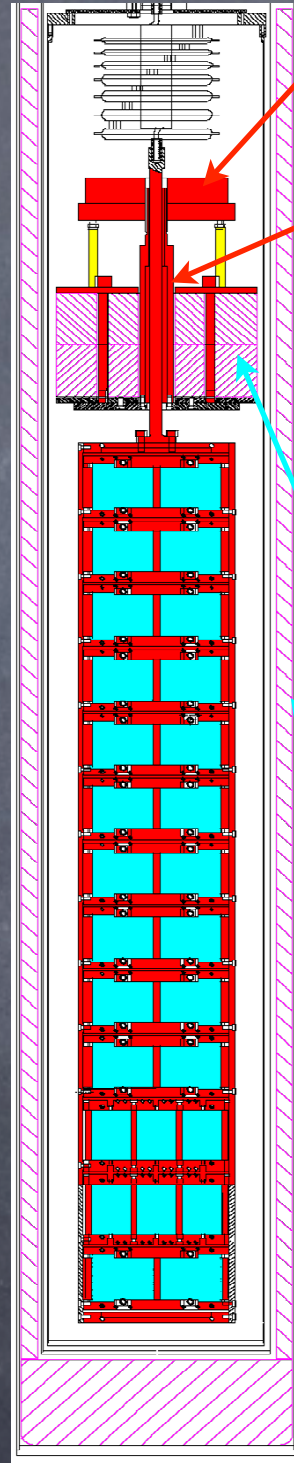
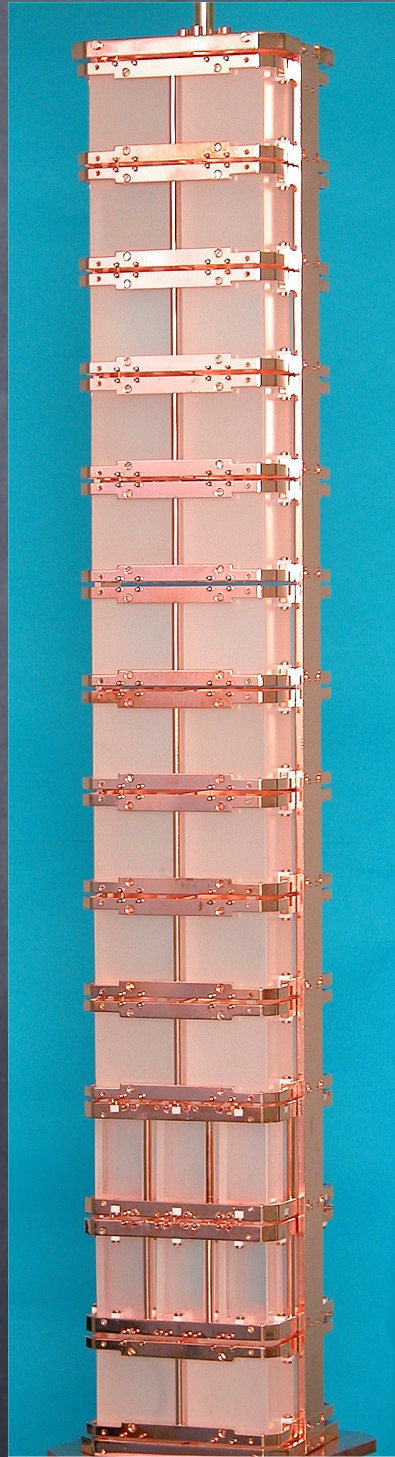
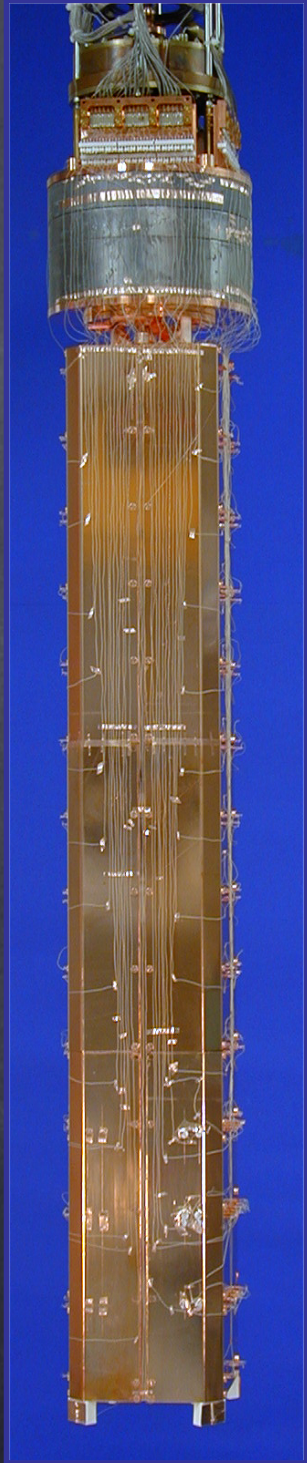
30 cm water (ext. wall)

40 cm wood (top and bottom)

(since march 2004: water + boron)



Cuoricino @ LNGS

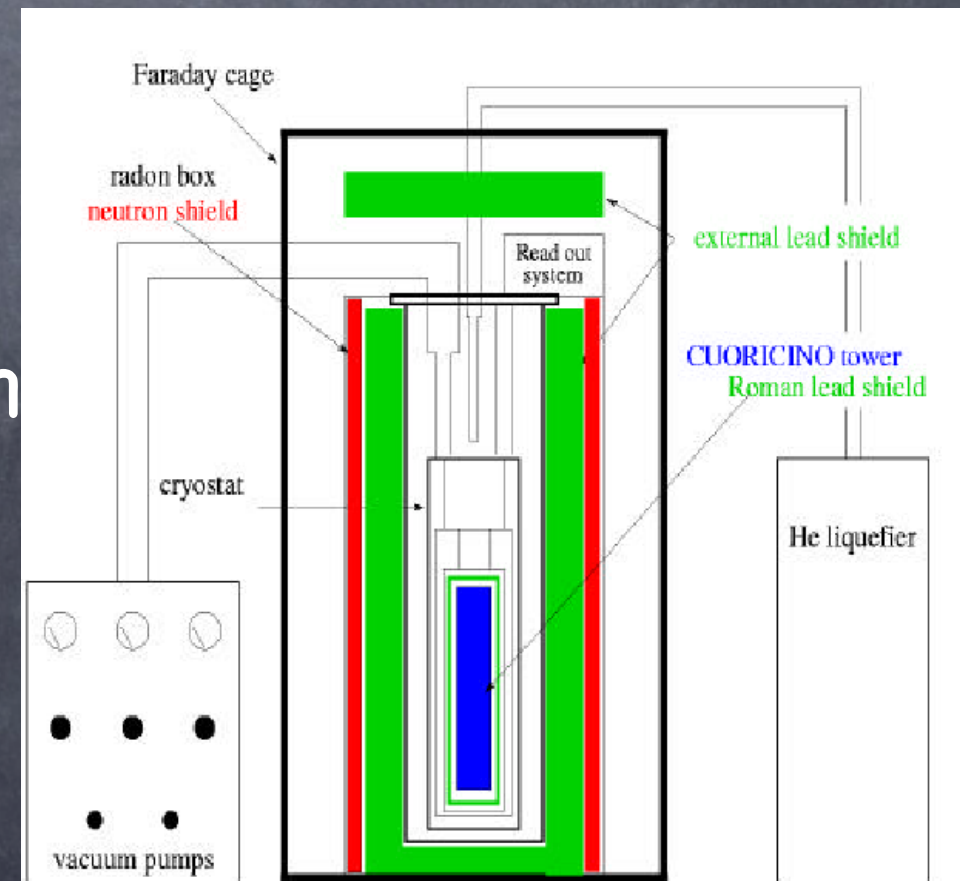


Mixing chamber

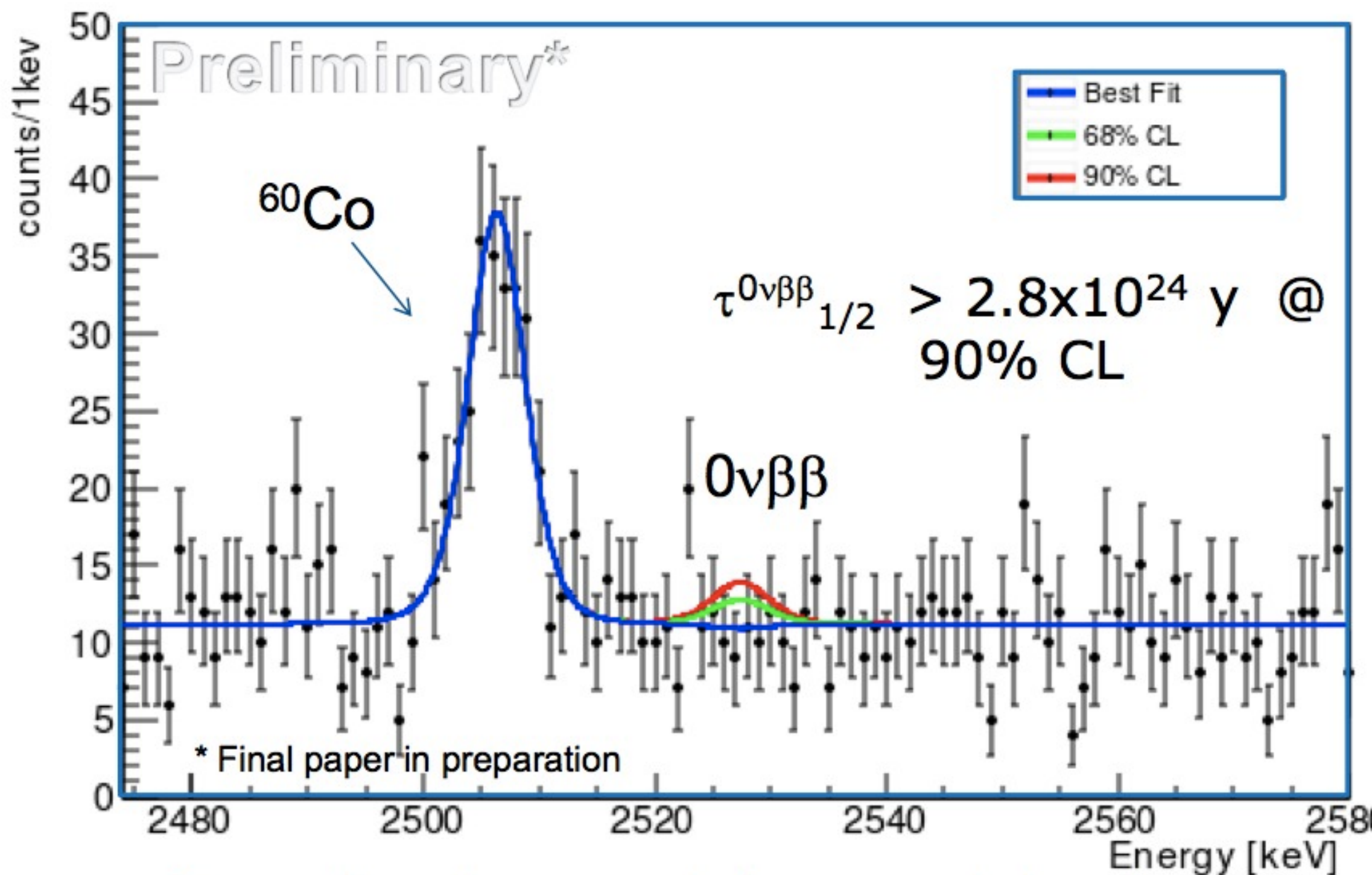
Cold finger

10 mK

Roman Lead Shield

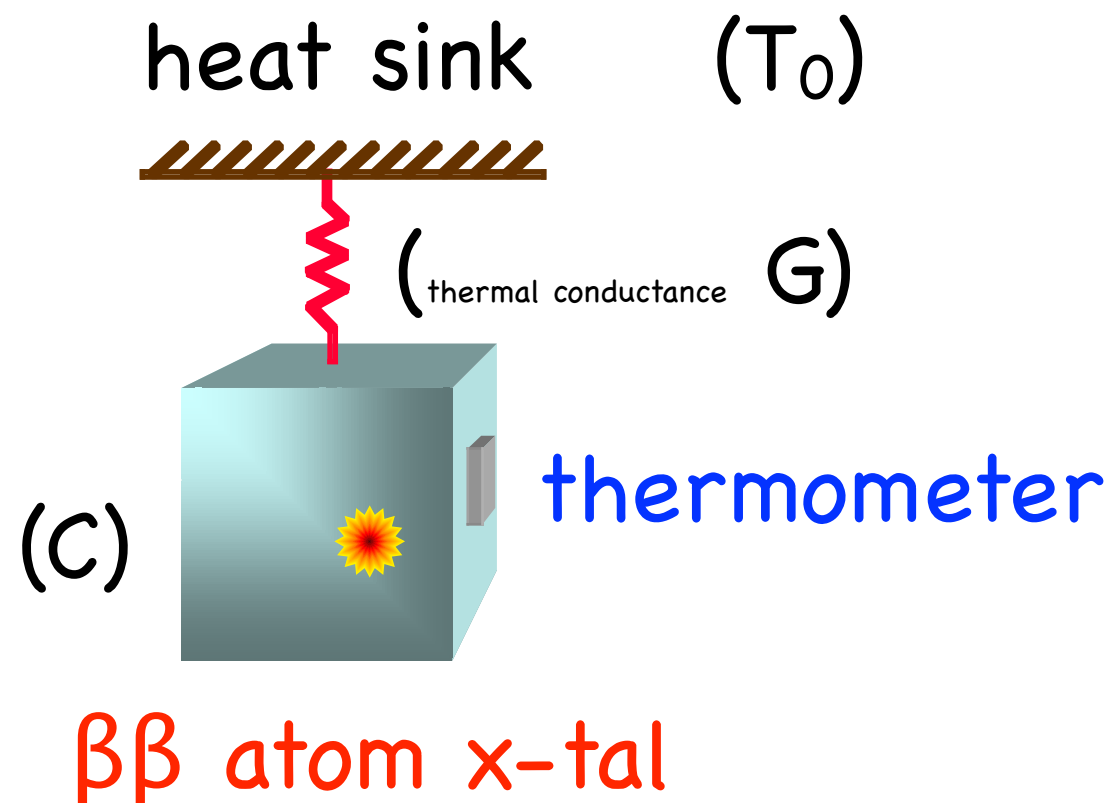


Cuoricino finale



(very) Low Temperature Calorimeter

The True Calorimeter



Basic Physics: $\Delta T = E/C$
(Energy release/ Thermal capacity)

Implication: Low $C \Rightarrow$ Low T

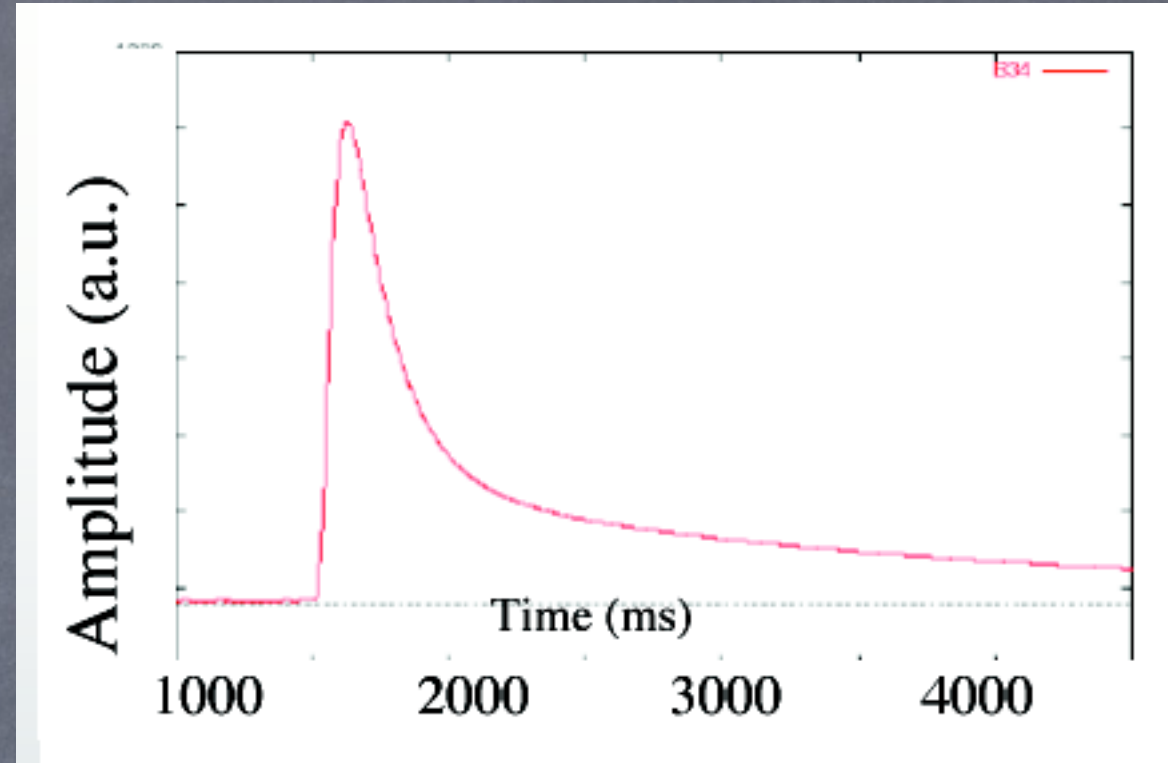
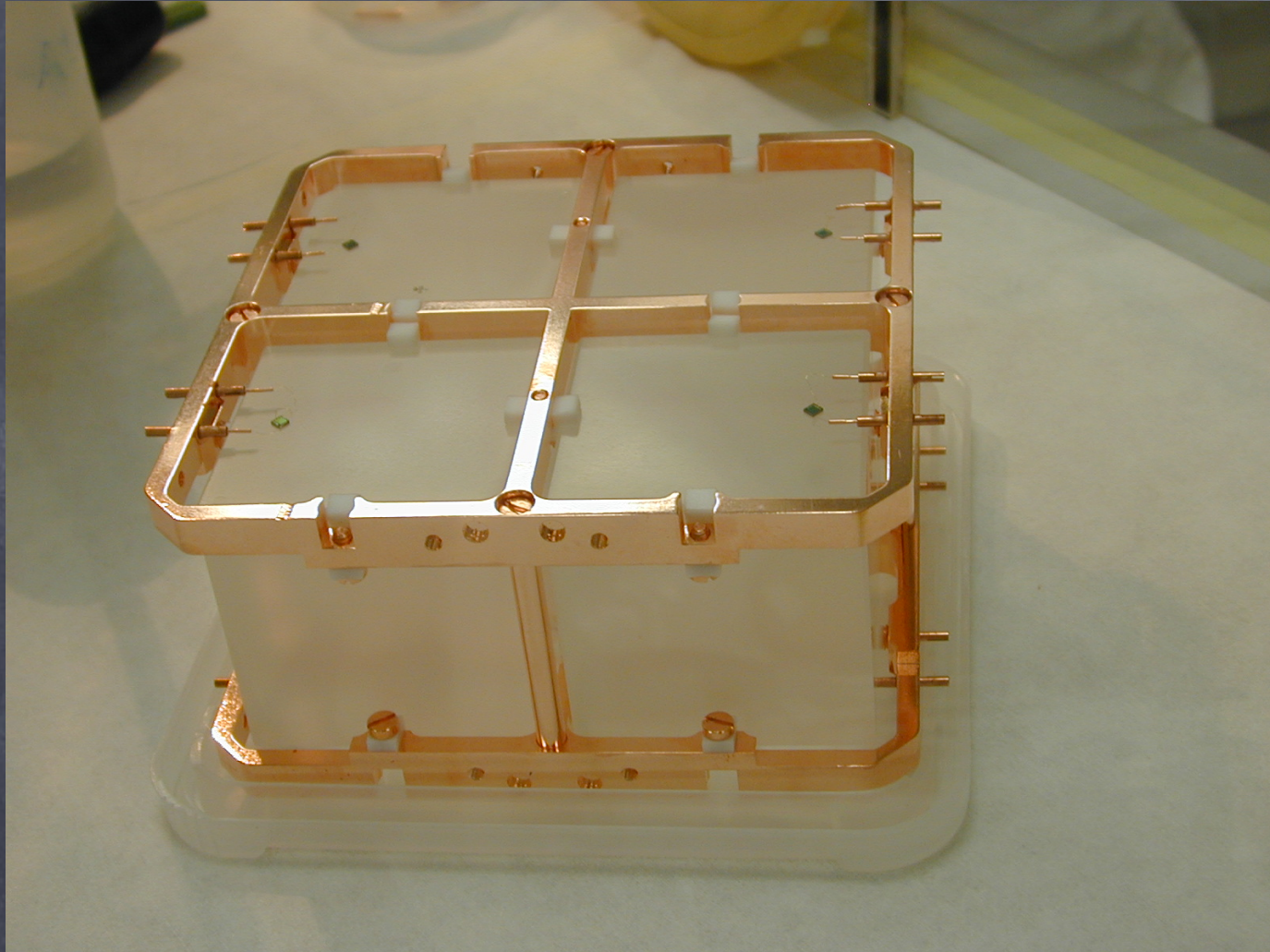
Bonus: (almost) No limit to ΔE ($k_B T^2 C$)

Not for all : $\tau = C/G \sim 1s$

$$C(T) = \beta \frac{m}{M} \left(\frac{T}{\Theta_D} \right)^3$$

$$\Delta T(t) = \frac{\Delta E}{C} \exp \left(-\frac{t}{\tau} \right)$$

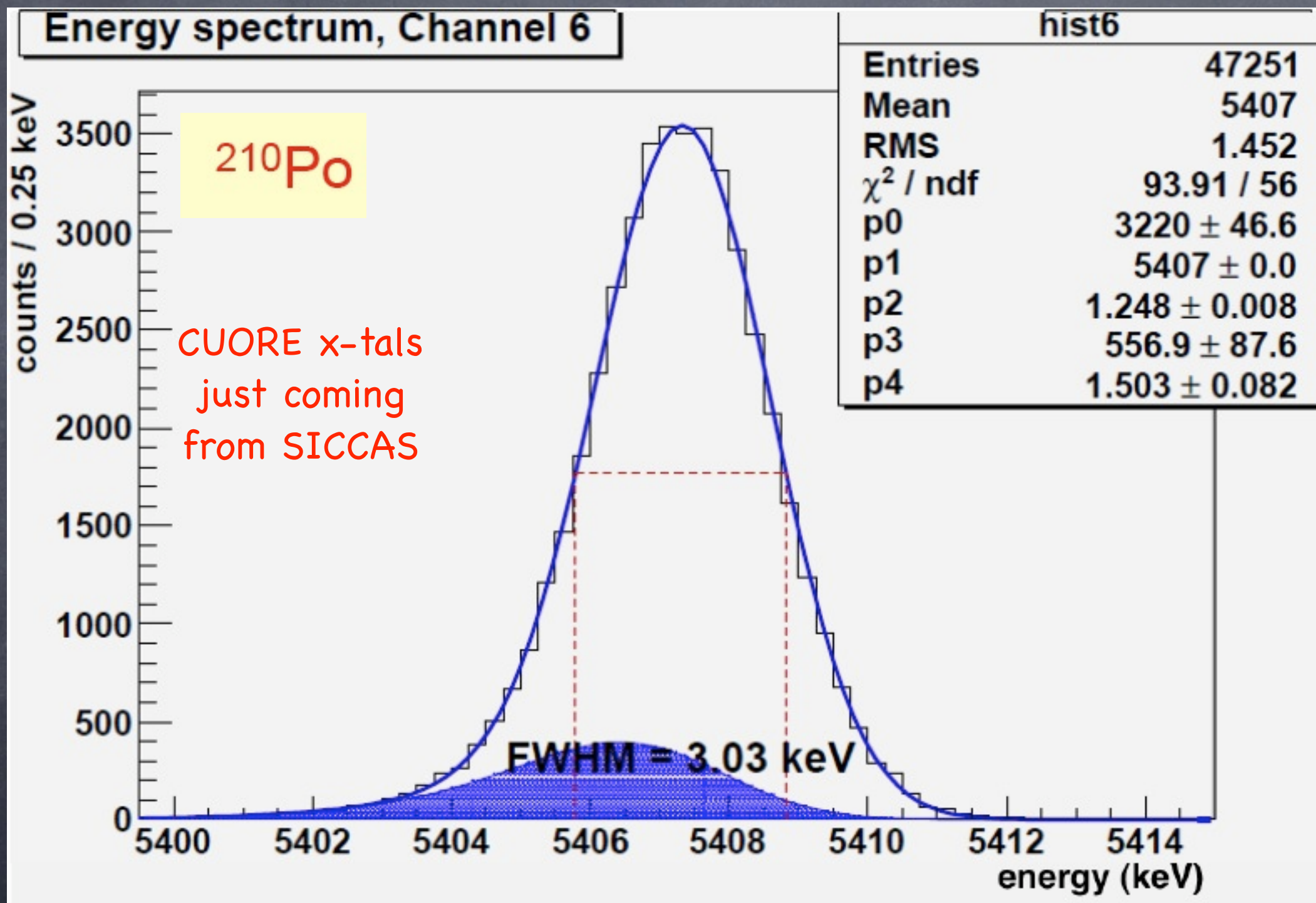
TeO₂ : a viable (show)case



$T_0 \sim 10$ mK Numerology:
 $C \sim 2$ nJ/K ~ 1 MeV/0.1 mK
 $G \sim 4$ pW/mK

Need to be able to detect temperature jumps of a fraction of μ K (per mil resolution on MeV signals)

Risoluzione di energia



Gli esperimenti

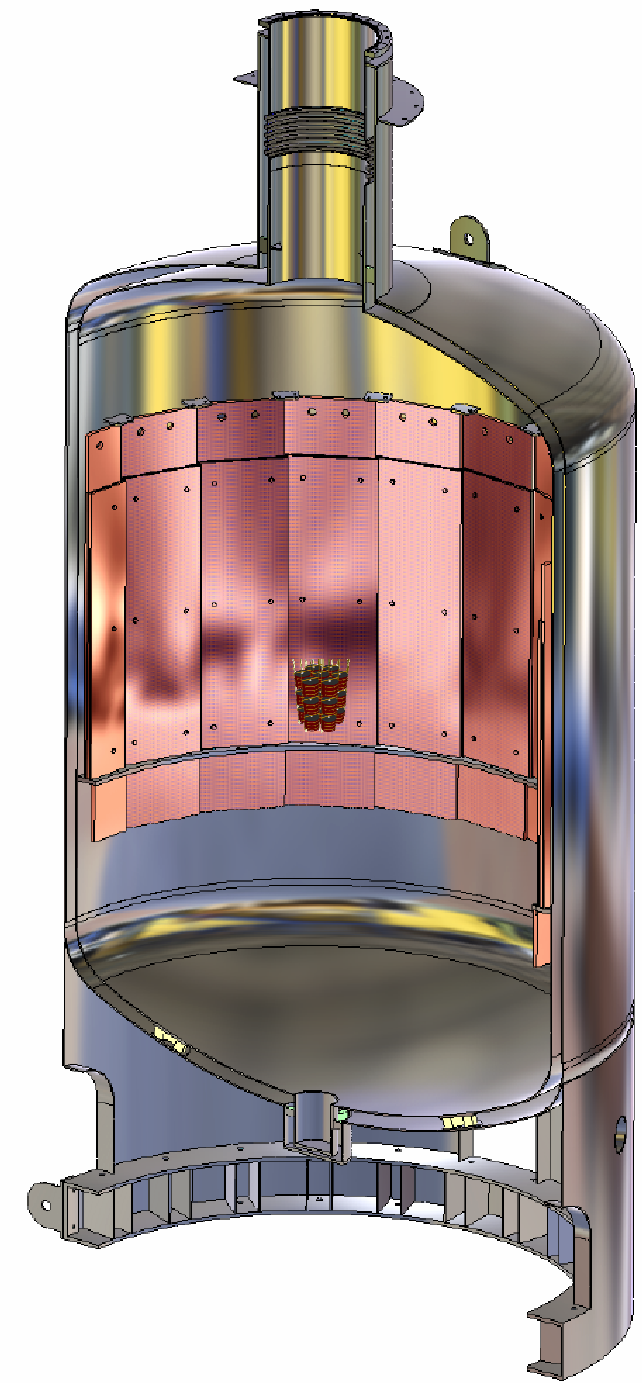
In pista o quasi

- GERDA (as an extrapolation of Ge ionization calorimeters)
- SuperNemo (improved tracking detectors)
- EXO (LXe with a super, yet daring, feature)
- CUORE (as a safe extrapolation of Cuoricino)
- + a newcomer



GERDA at LNGS

^{76}Ge IGEX + HdM diodes
at phase I



15 kg ^{76}Ge

Water shield
LAr bath , bare crystals

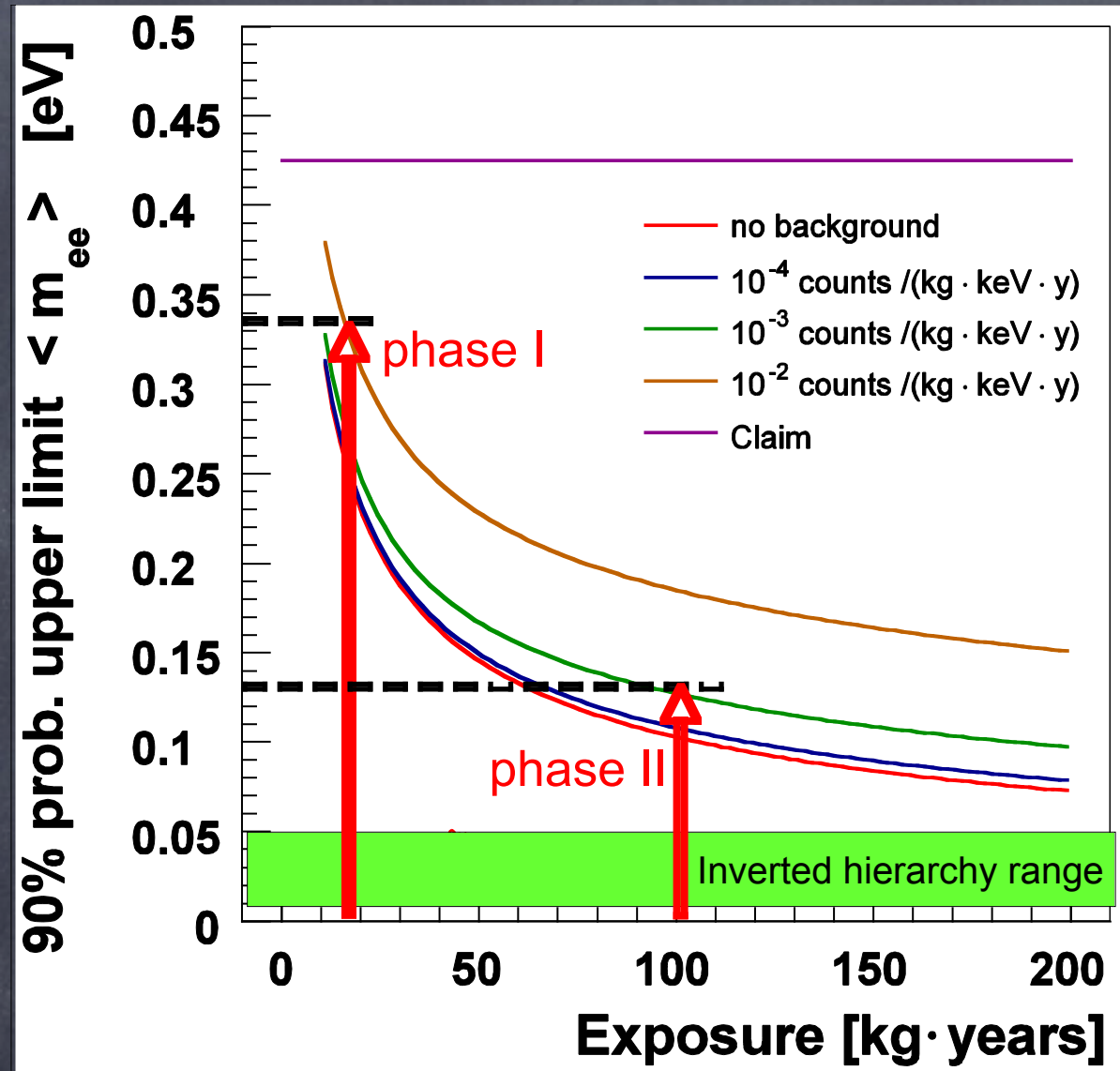
Prove or disprove
KKDC claim in 1 year

GERDA phases

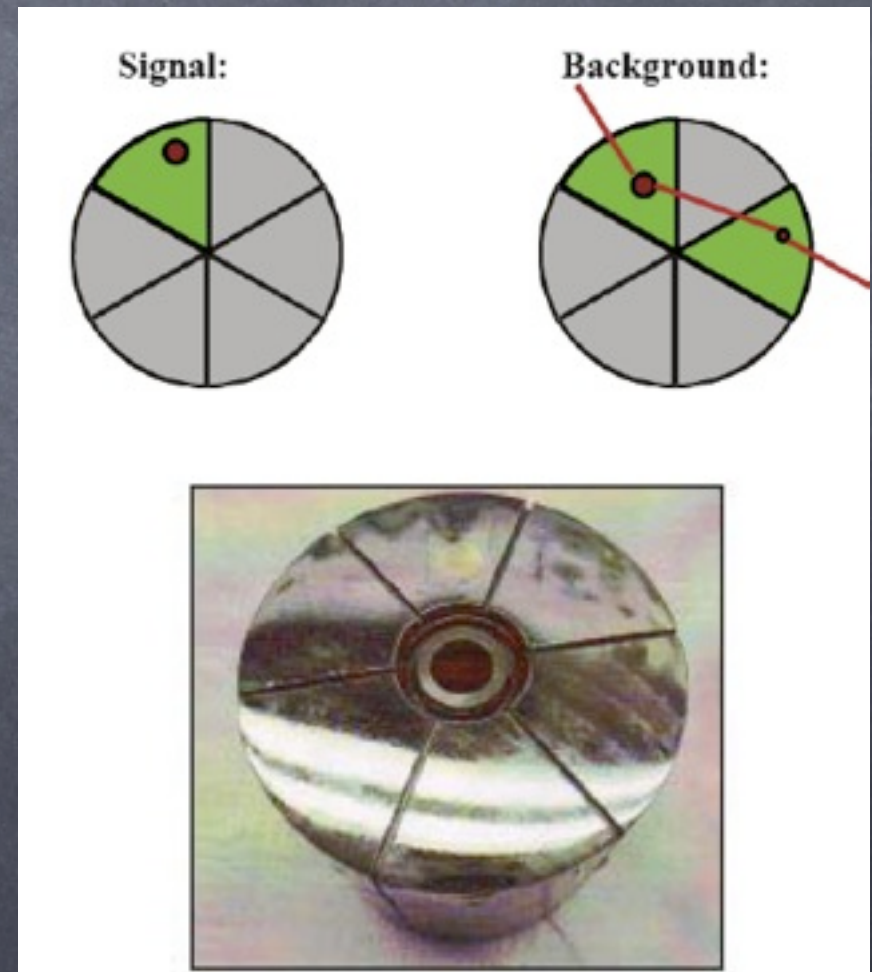
Phase 1 : 15 Kg, $B < 10^{-2}$ c/(kg keV y) . Scrutinize KKDC claim.

Phase 2: 40 Kg enriched, segmented diodes, $B < 10^{-3}$ c/(kg keV y)

Phase 3: 1 Ton, worldwide



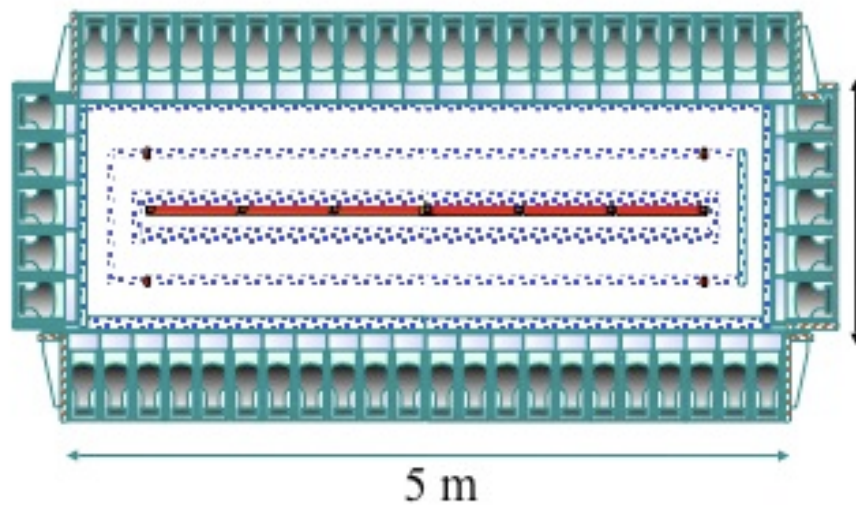
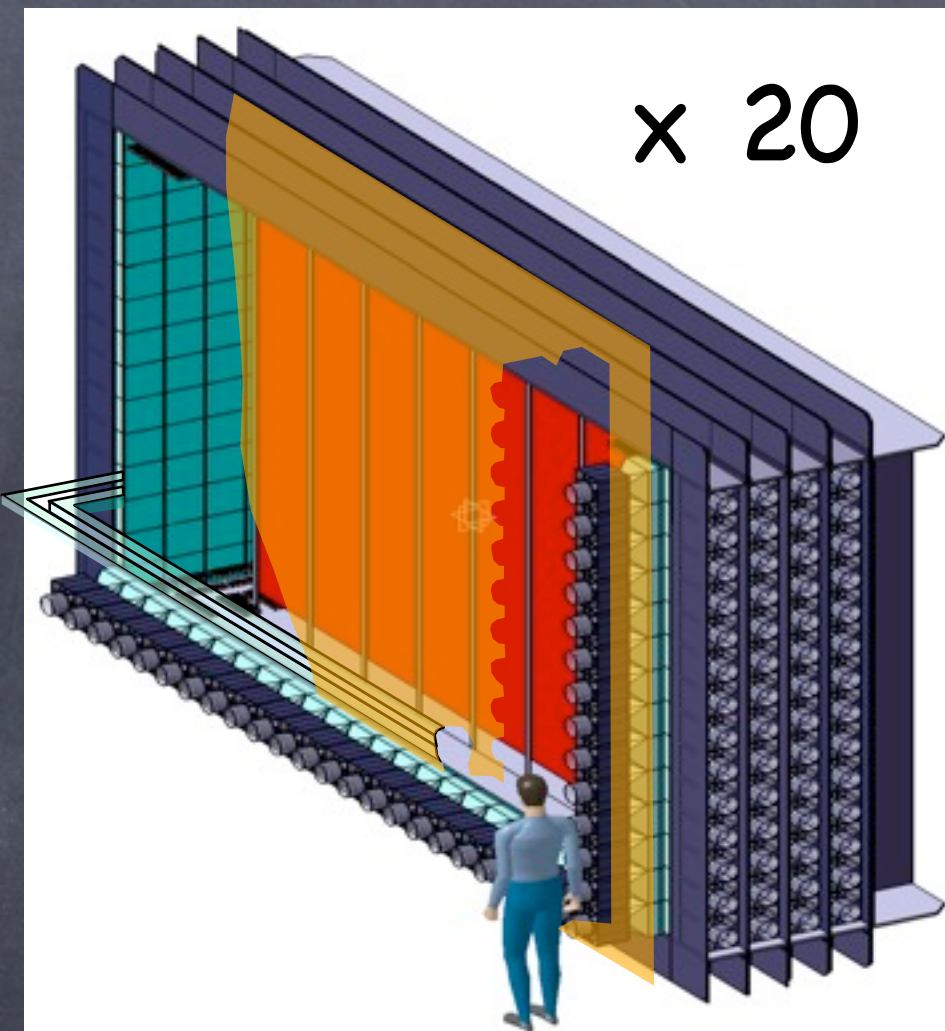
Challenge: decrease the background from 0.17 (HdM) to 0.01 first and to 0.001 then [c/(kg keV y)]



x 20

NEMO → SuperNEMO

challenge: a lot of improvement at the same time in a huge detector



NEMO-3

SuperNEMO

^{100}Mo
 $T_{1/2}(\beta\beta 2\nu) = 7 \cdot 10^{18} \text{ y}$

Choice of isotope

^{82}Se (and/or ^{150}Nd)
 $T_{1/2}(\beta\beta 2\nu) = 10^{20} \text{ y}$

7 kg

Isotope mass **M**

100 - 200 kg

$\epsilon(\beta\beta 0\nu) = 8 \%$

Efficiency **ϵ**

$\epsilon(\beta\beta 0\nu) \sim 30 \%$

$^{214}\text{Bi} < 300 \mu\text{Bq/kg}$
 $^{208}\text{Tl} < 20 \mu\text{Bq/kg}$
 $^{208}\text{Tl}, ^{214}\text{Bi} \sim 1 \text{ evt} / 7 \text{ kg} / \text{y}$
 $\beta\beta 2\nu \sim 2 \text{ evts} / 7 \text{ kg} / \text{y}$

$N_{\text{exclu}} = f(\text{BKG})$
 Internal contaminations
 ^{208}Tl and ^{214}Bi in the $\beta\beta$ foil

$^{214}\text{Bi} < 10 \mu\text{Bq/kg}$
 $^{208}\text{Tl} < 2 \mu\text{Bq/kg}$
 $(^{208}\text{Tl}, ^{214}\text{Bi}) \sim 1 \text{ evt} / 100 \text{ kg} / \text{y}$
 $\beta\beta 2\nu \sim 1 \text{ evt} / 100 \text{ kg} / \text{y}$

FWHM(calor) = 8% @3MeV

$\beta\beta(2\nu)$

IF

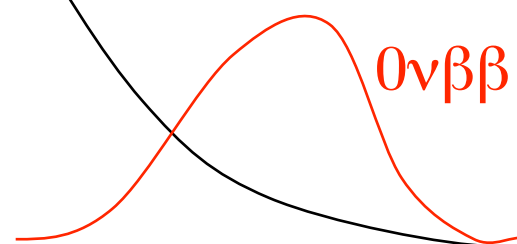
FWHM(calor) = 4% @3MeV

$T_{1/2}(\beta\beta 0\nu) > 2 \cdot 10^{24} \text{ y}$
 $\langle m_\nu \rangle < 0.3 - 0.7 \text{ eV}$

SENSITIVITY

$T_{1/2}(\beta\beta 0\nu) > 2 \cdot 10^{26} \text{ y}$
 $\langle m_\nu \rangle < 50 \text{ meV}$

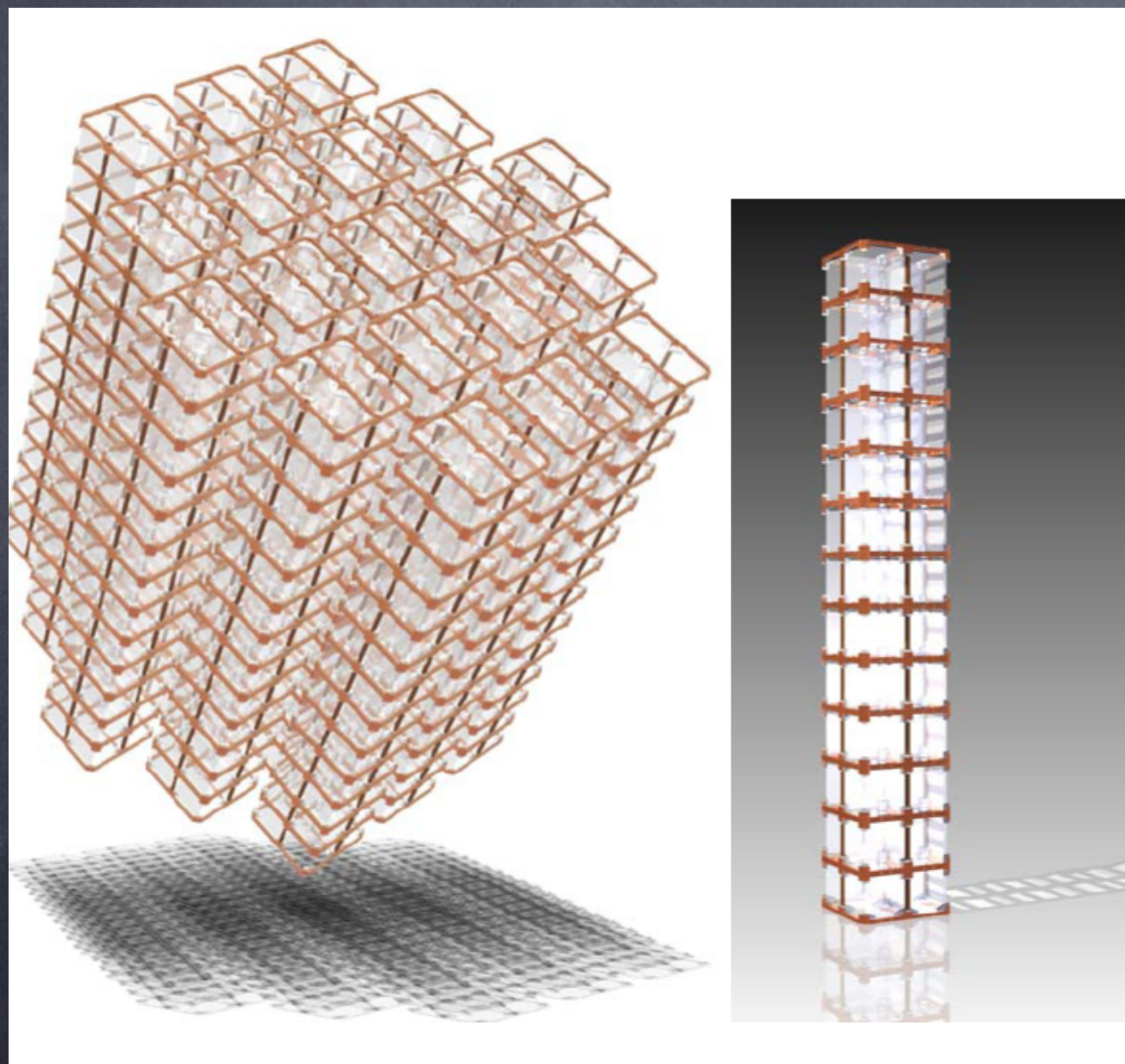
$2\nu\beta\beta$ tail



- 1) $\beta\beta$ source production
- 2) Energy resolution
- 3) Radiopurity
- 4) Tracking

CUORE

Cuoricino X 19



988 cristalli TeO_2

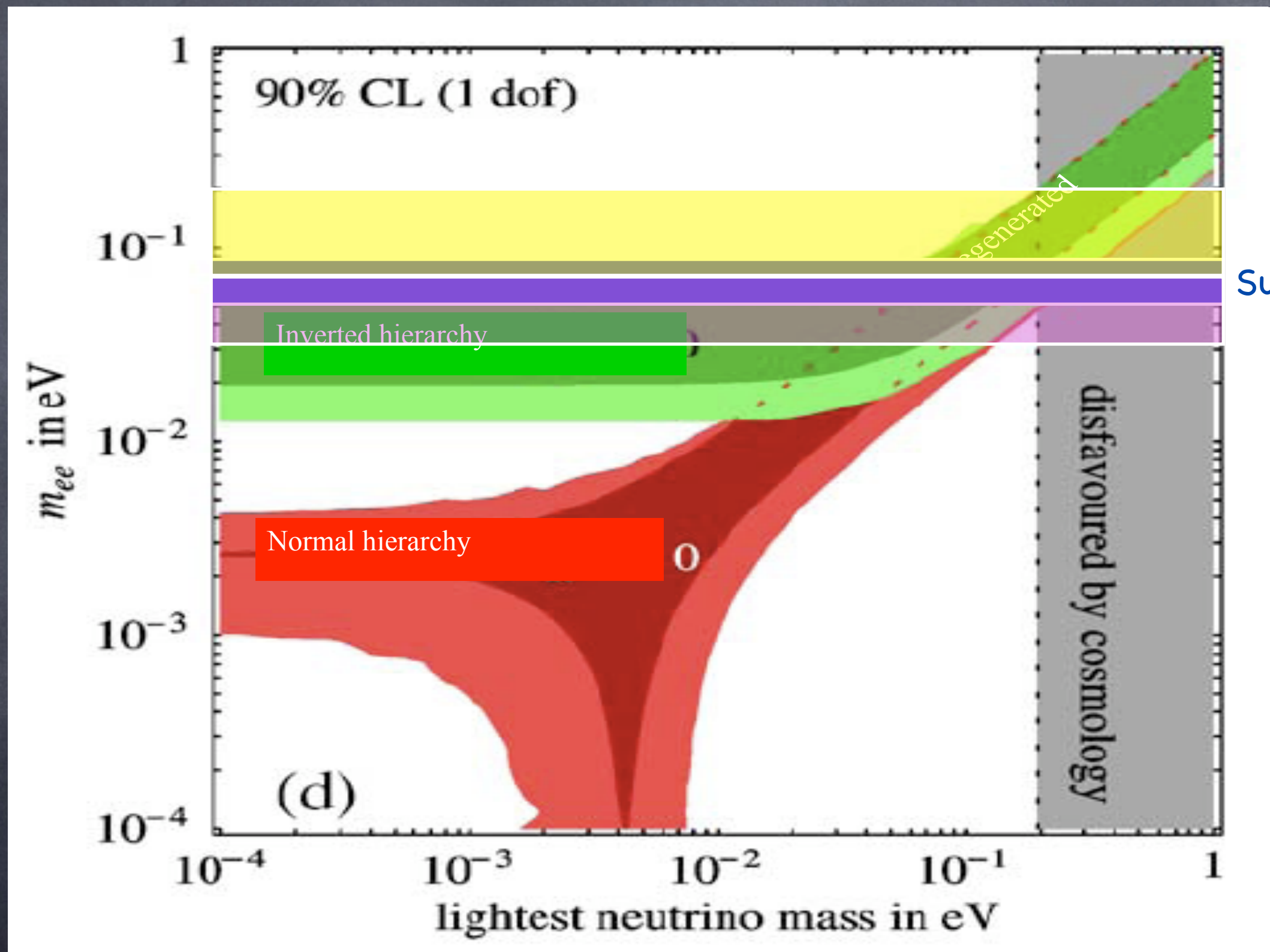
19 Torri di 52 cristalli

741 Kg di TeO_2

$^{130}\text{Te} \sim 204 \text{ Kg}$

Possibilita' di riuso del criostato con altri cristalli !

La prossima generazione e' interlocutoria



GERDA 2
SuperNEMO
CUORE

Scaling Cuoricino to CUORE

$$\frac{a}{A} \left[\frac{M T}{b \Delta E} \right]^{1/2}$$

$$M = m \times 19$$

$$T = t \times 3$$

$$b = B / 5$$

$$\Delta E = \Delta E / 1.5$$

$$S_{\text{CUORE}} = \sqrt{450} S_{\text{Cuoricino}} \sim 20 S_{\text{Cuoricino}}$$

$$T_{1/2} (\text{CUORE}) \sim 5.6 \times 10^{25}$$

$$\langle m_{\nu} \rangle_{\text{CUORE}} \sim \langle m_{\nu} \rangle_{\text{Cuoricino}} / 5 \sim 100 \text{ meV}$$

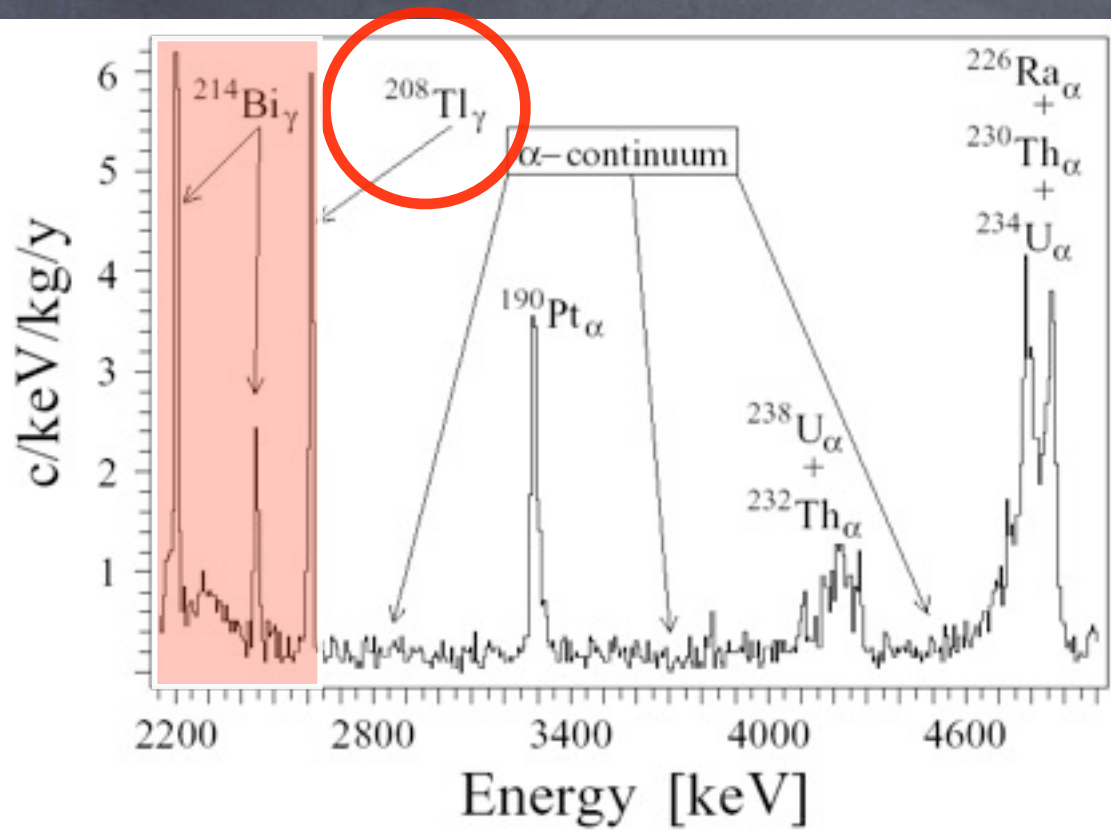
Fondo

A/Z	81	82	83	84	85	86	87	88	89	90		
232										²³²Th 14.05 Gy		
228								²²⁸Ra 5.75 y	²²⁸Ac 6.15 h	²²⁸Th 1.913 y		
224							(²²⁴Fr) 3.3 m	²²⁴Ra 3.66 d				
220										²²⁰Rn 55.6 s		
216										²¹⁶Po 0.145 s		
212										²¹²Pb 10.64 h	²¹²Bi 60.6 m	²¹²Po 0.299 ms
208	²⁰⁸Tl 3.05 m									²⁰⁸Pb stable		

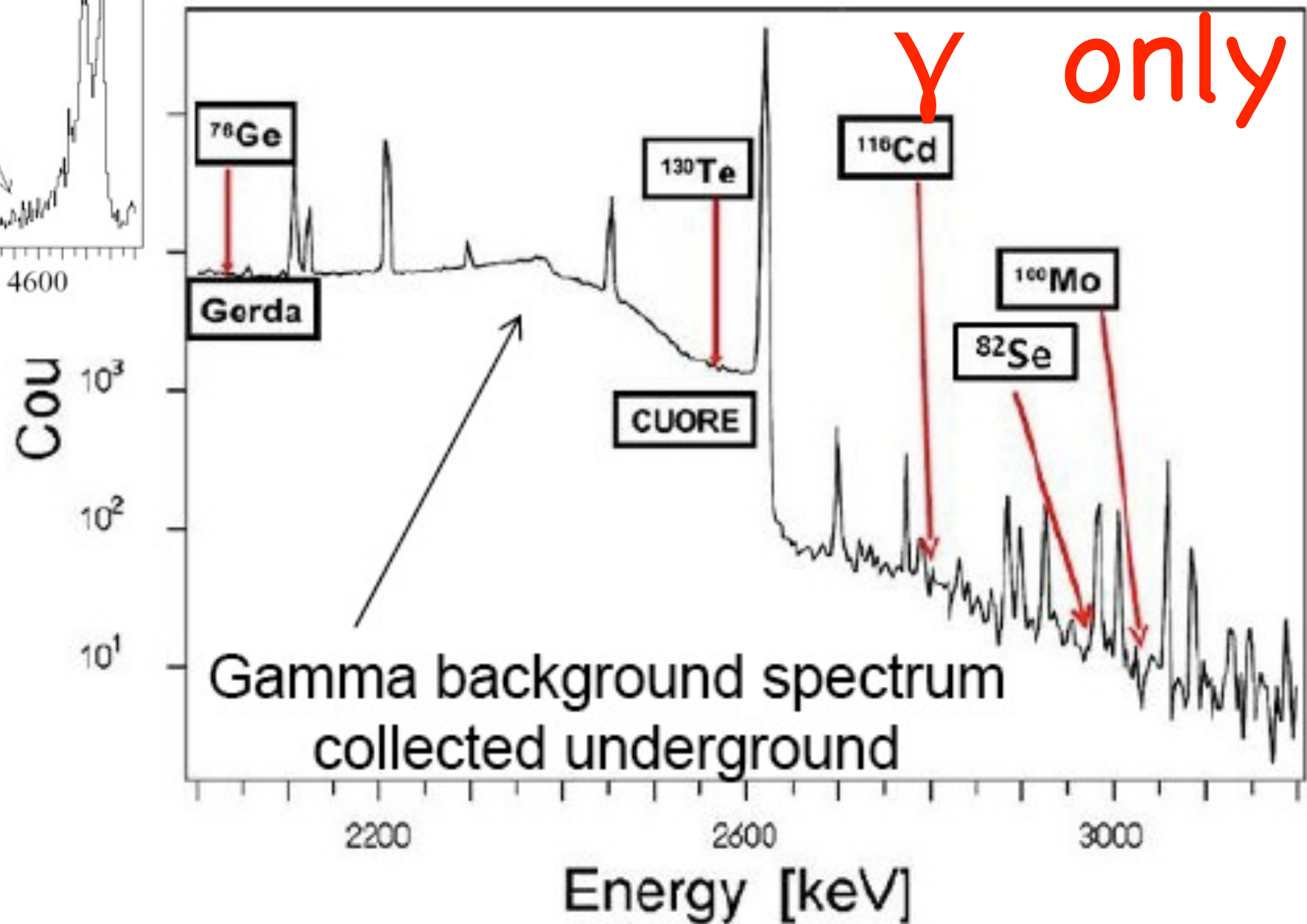
U
e
Th

A/Z	80	81	82	83	84	85	86	87	88	89	90	91	92			
238													²³⁸U 4.468 Gy			
234												²³⁴Th 24.10 d	^{234m}Pa 70.2 s ²³⁴Pa 6.70 s	²³⁴U 245 ky		
230													²³⁰Th 75.4 ky			
226													²²⁶Ra 1600 y			
222													²²²Rn 3.8235 d			
218													²¹⁸Po 186 s	²¹⁸At 1.6 s	²¹⁸Rn 35 ms	
214													²¹⁴Pb 27 m	²¹⁴Bi 19.9 m	²¹⁴Po 164 μs	
210													²¹⁰Tl 1.30 m	²¹⁰Pb 22.3 y	²¹⁰Bi 5.013 d	²¹⁰Po 138.376 d
206	²⁰⁶Hg 8.2 m	²⁰⁶Tl 4.20 m											²⁰⁶Pb stable			

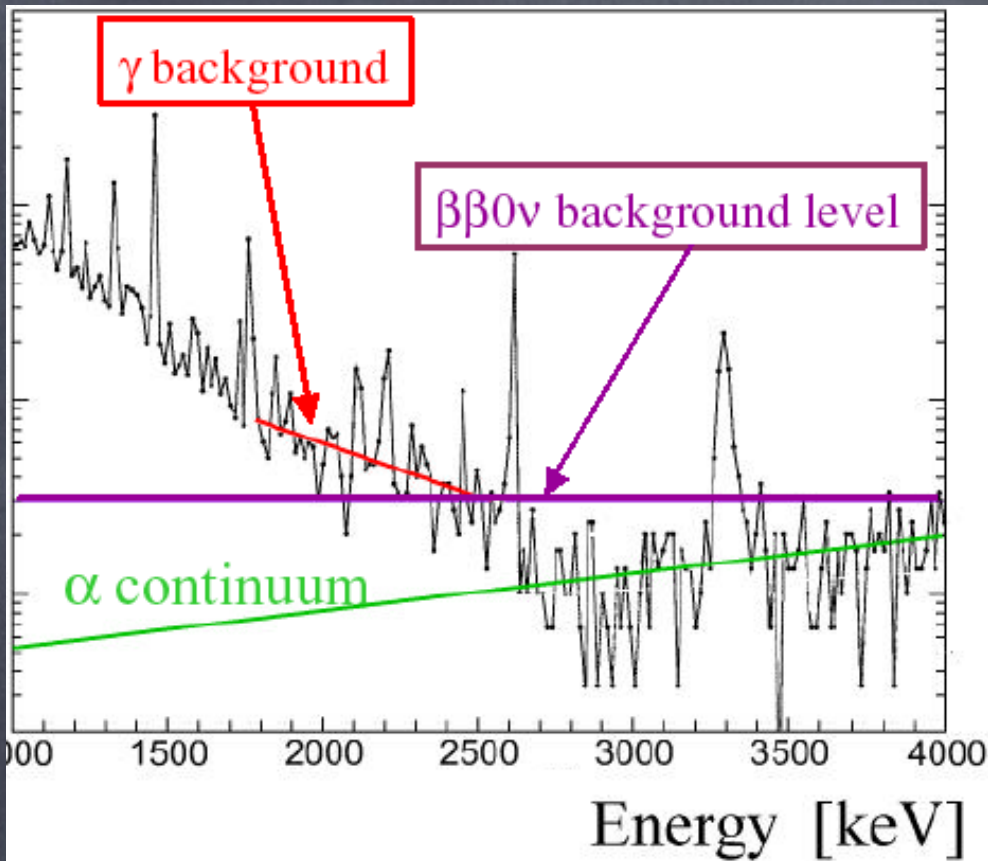
La radioattività naturale



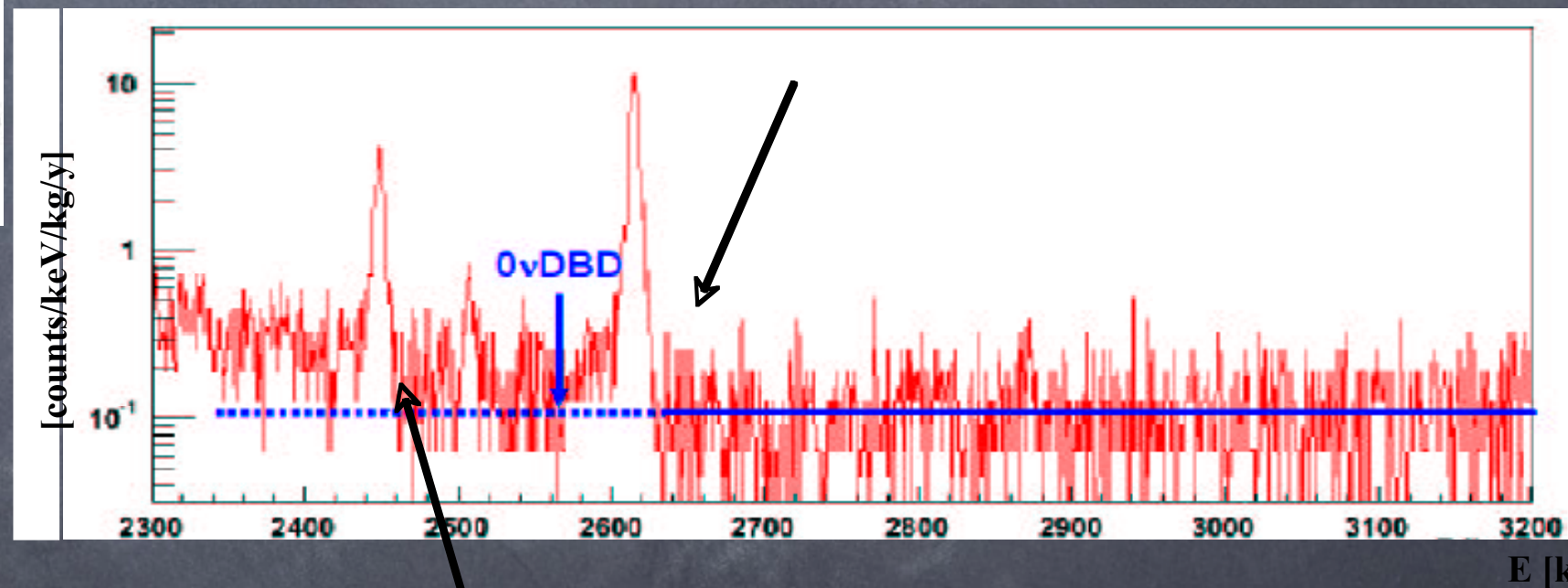
above ^{208}Tl
there is the α
land



Cuoricino: Background



2615 keV Tl line: contribution to the DBD bkg due to a Th contamination (multicompton).
Th (Tl) contribution to DBD background: **~ 40%**

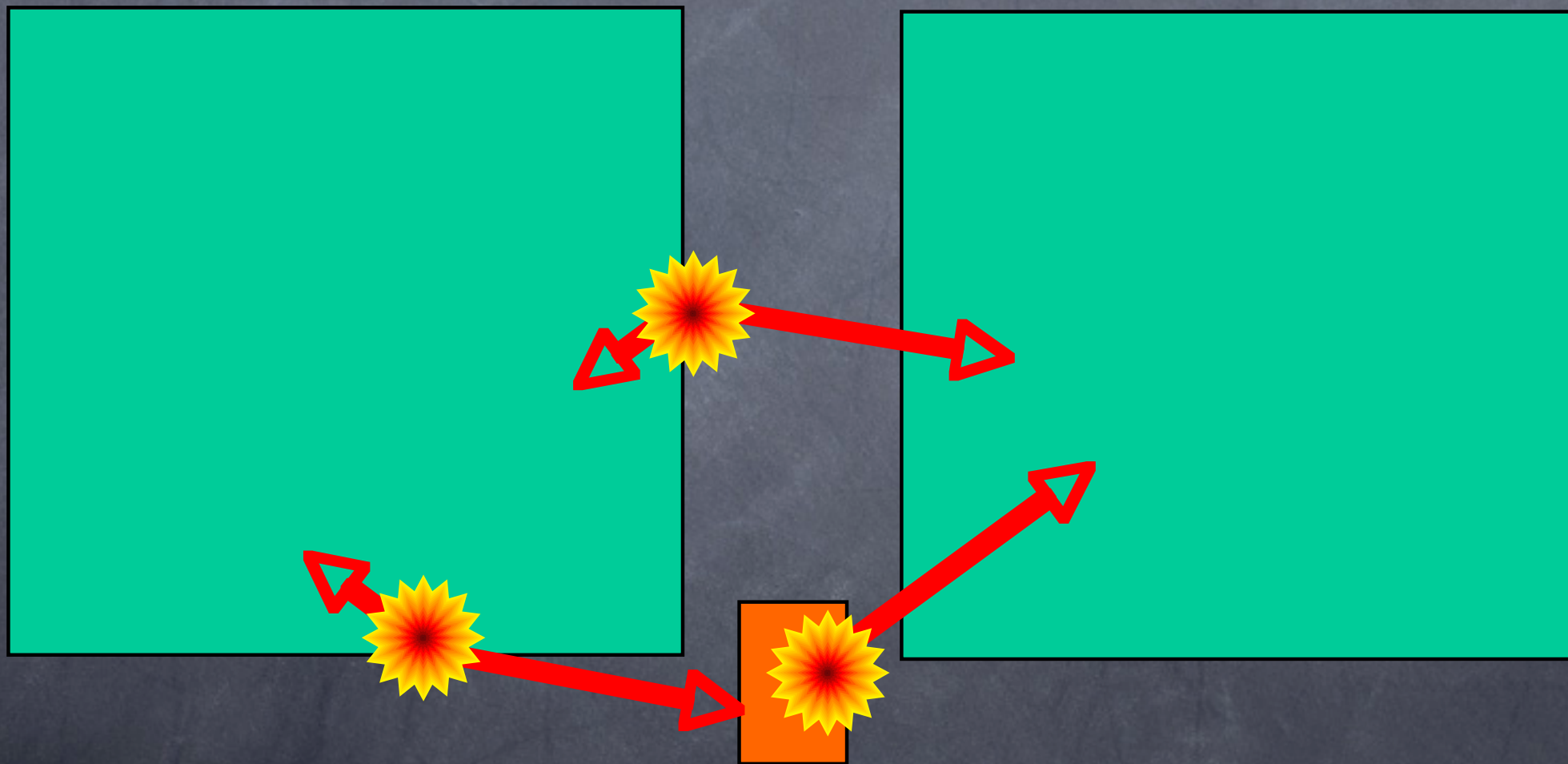


2505 keV line: sum of the 2 ^{60}Co gammas (1173 and 1332 keV)
Most probable source: neutron activation of the Copper
Contribution to DBD background: negligible

Cuoricino
 $b=0.18 \pm 0.02$
 $c/\text{keV}/\text{kg}/\text{y}$

Flat background in the energy region above the ^{208}Tl 2615 line
Contribution to the counting rate in the $0\nu\text{DBD}$ region: **~ 60%**
Degraded alpha particles

Il modello standard del fondo



Degraded α 's

Quindi c'è spazio per pensare

LUCIFER

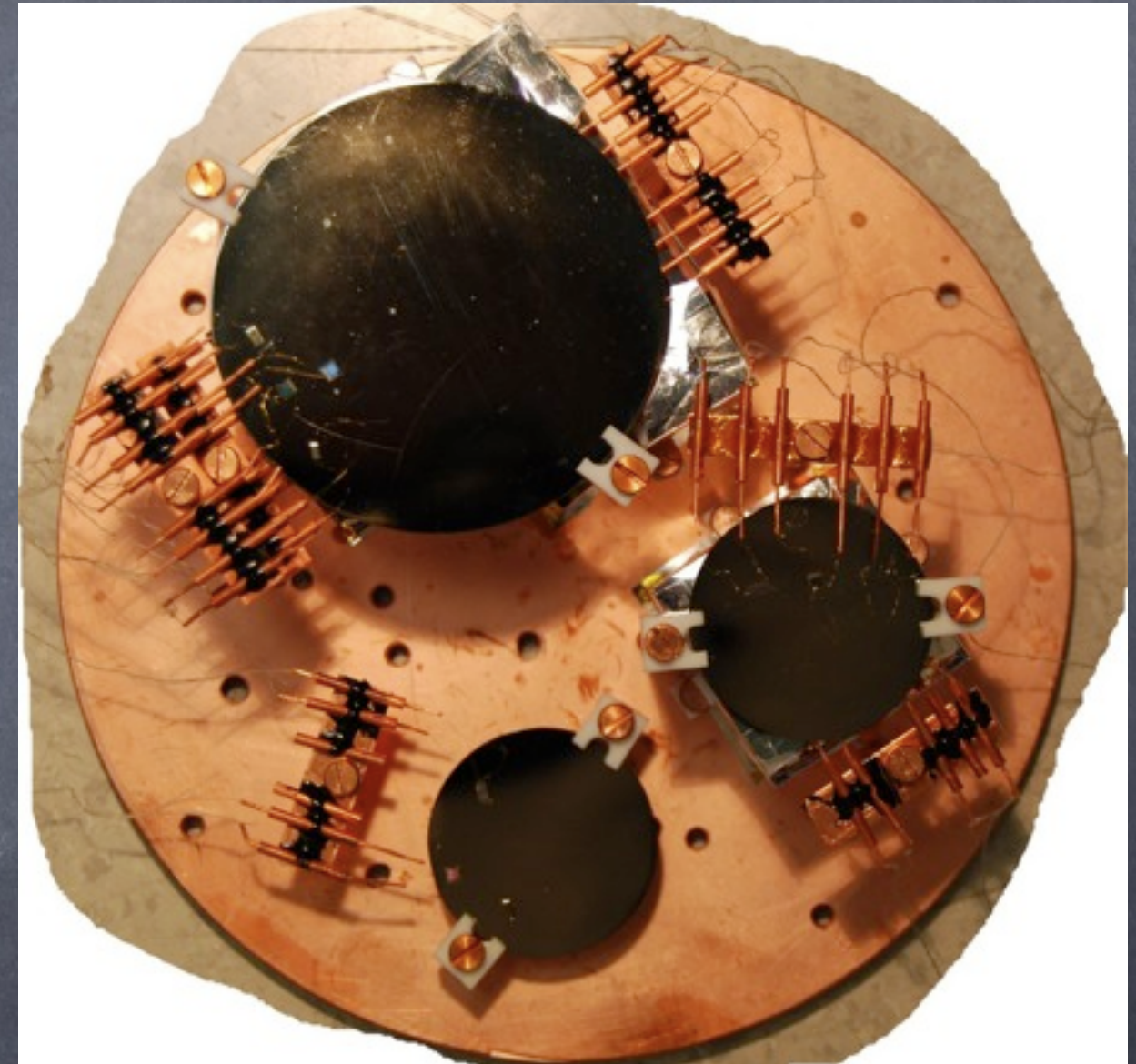
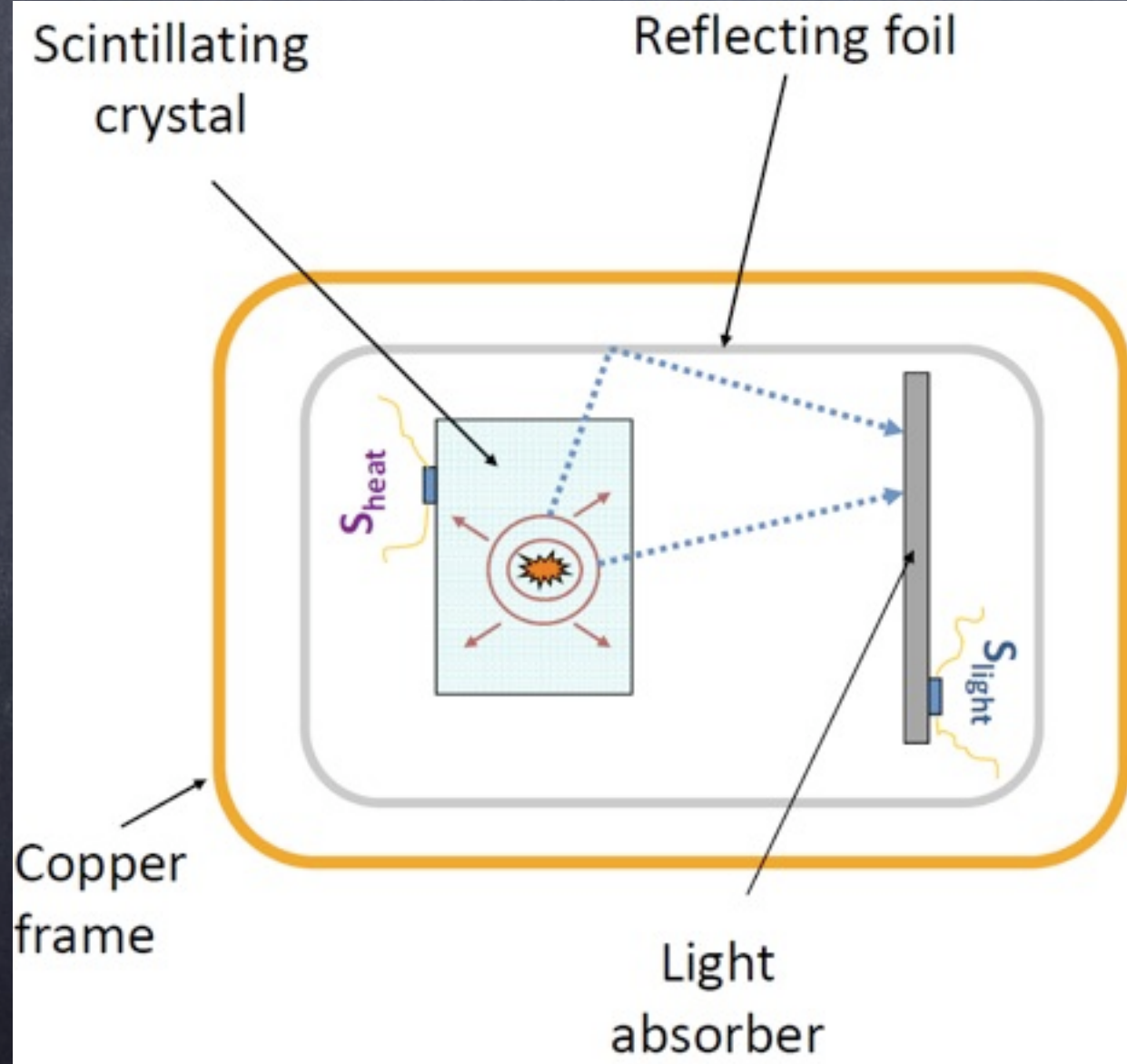
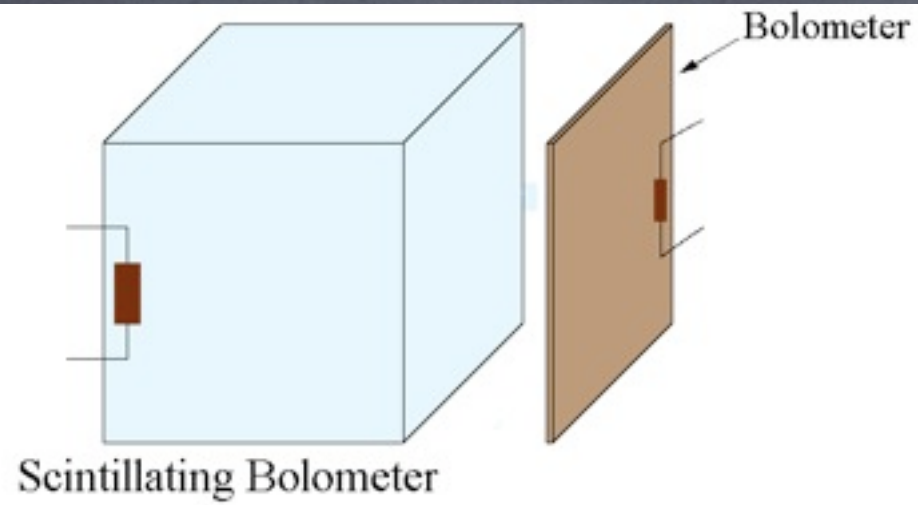
concept



Bringing
light
underground

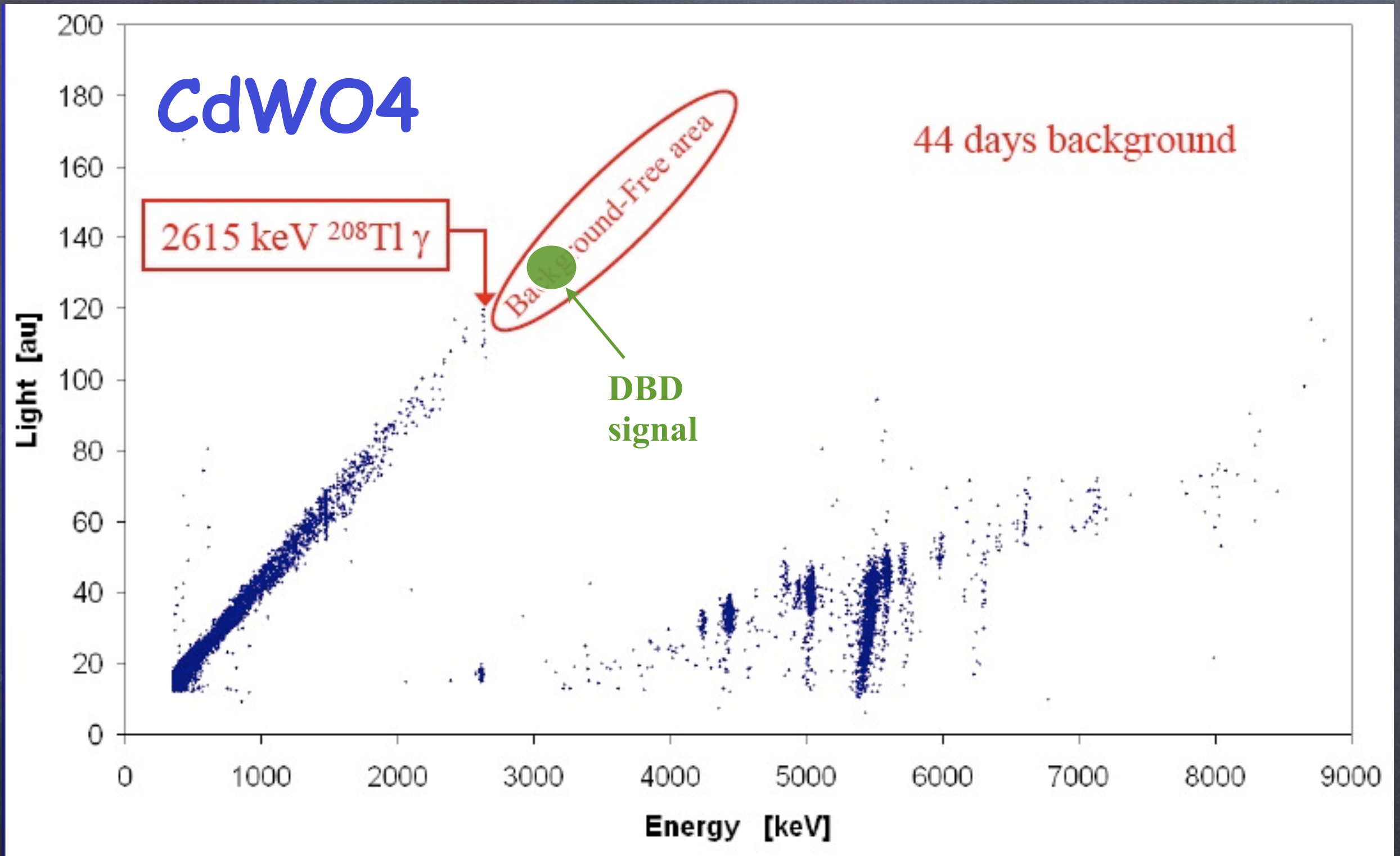
Double read-out

BOLUX@CSN5

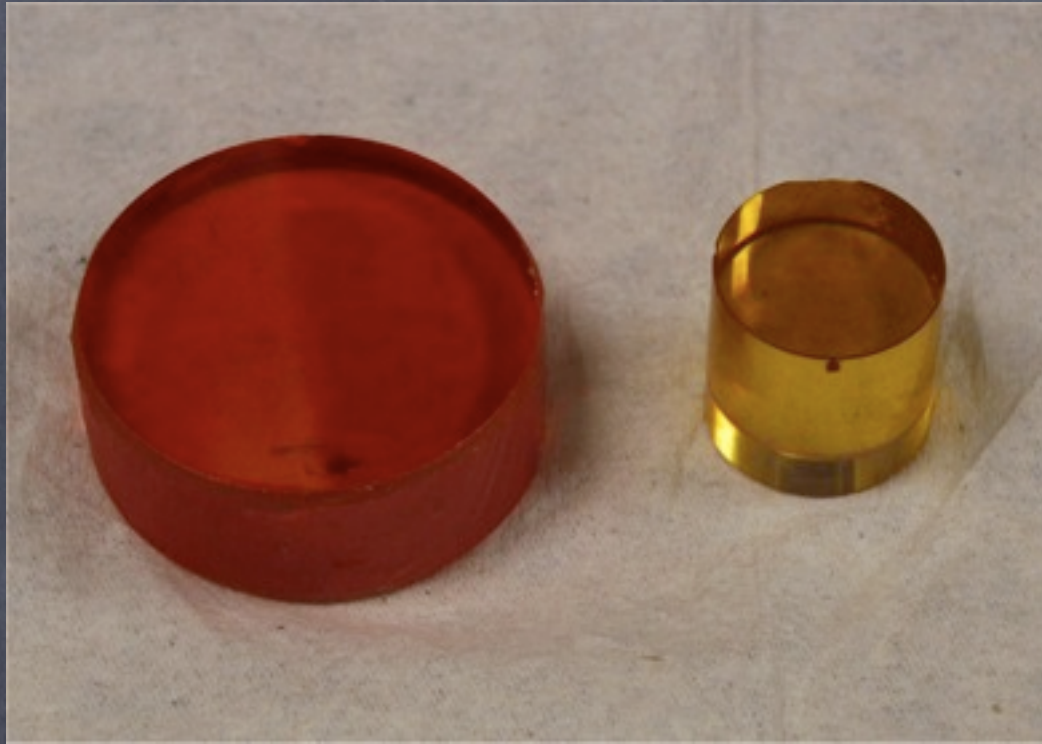


S. Pirro@LNGS

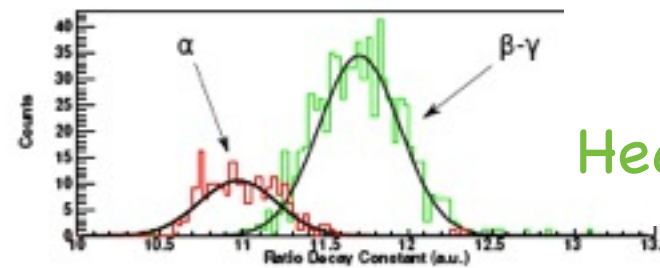
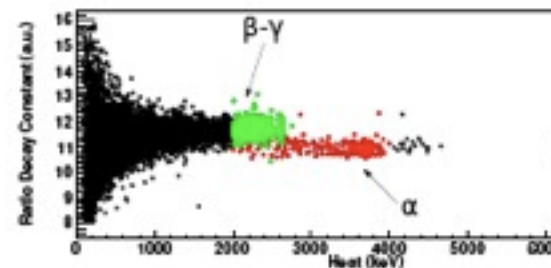
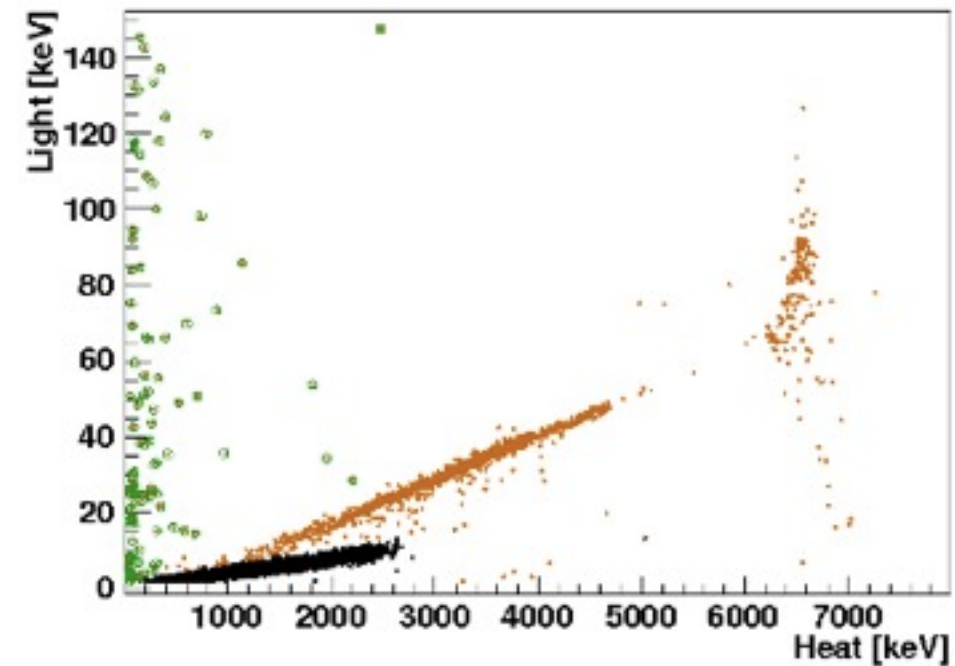
una figura, un programma !



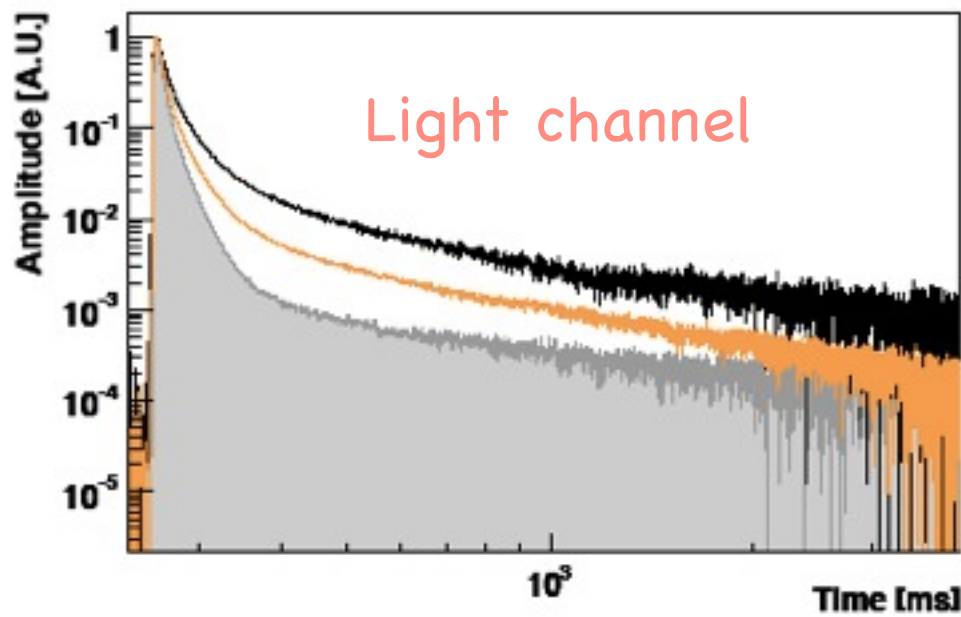
Il cristallo piu' intrigante



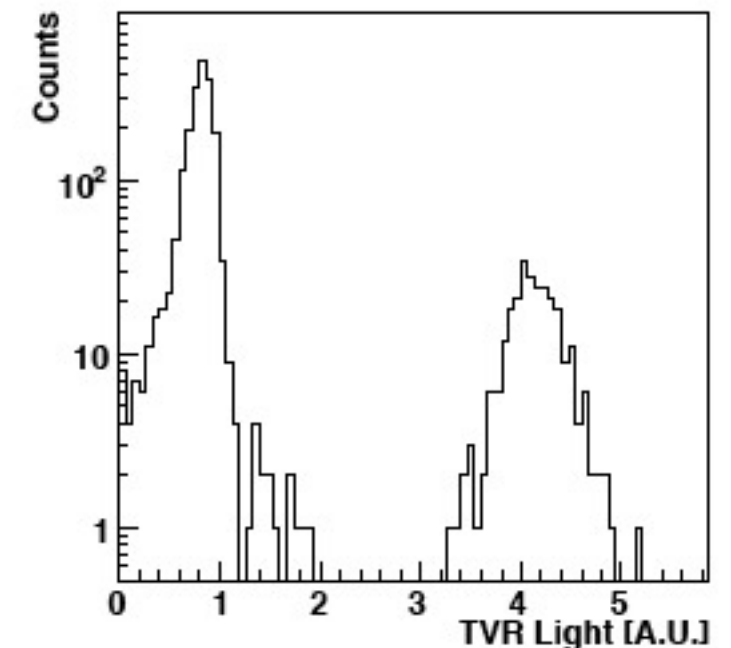
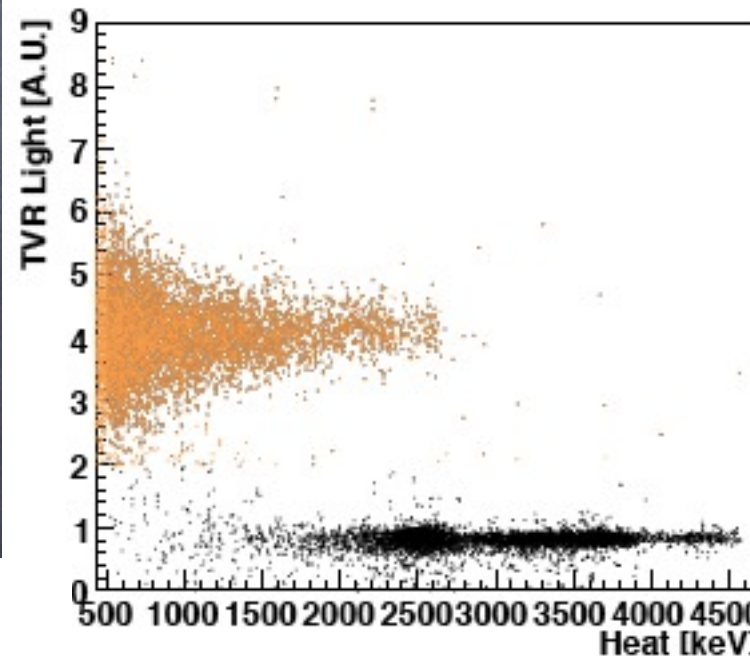
ZnSe



Heat channel



Light channel



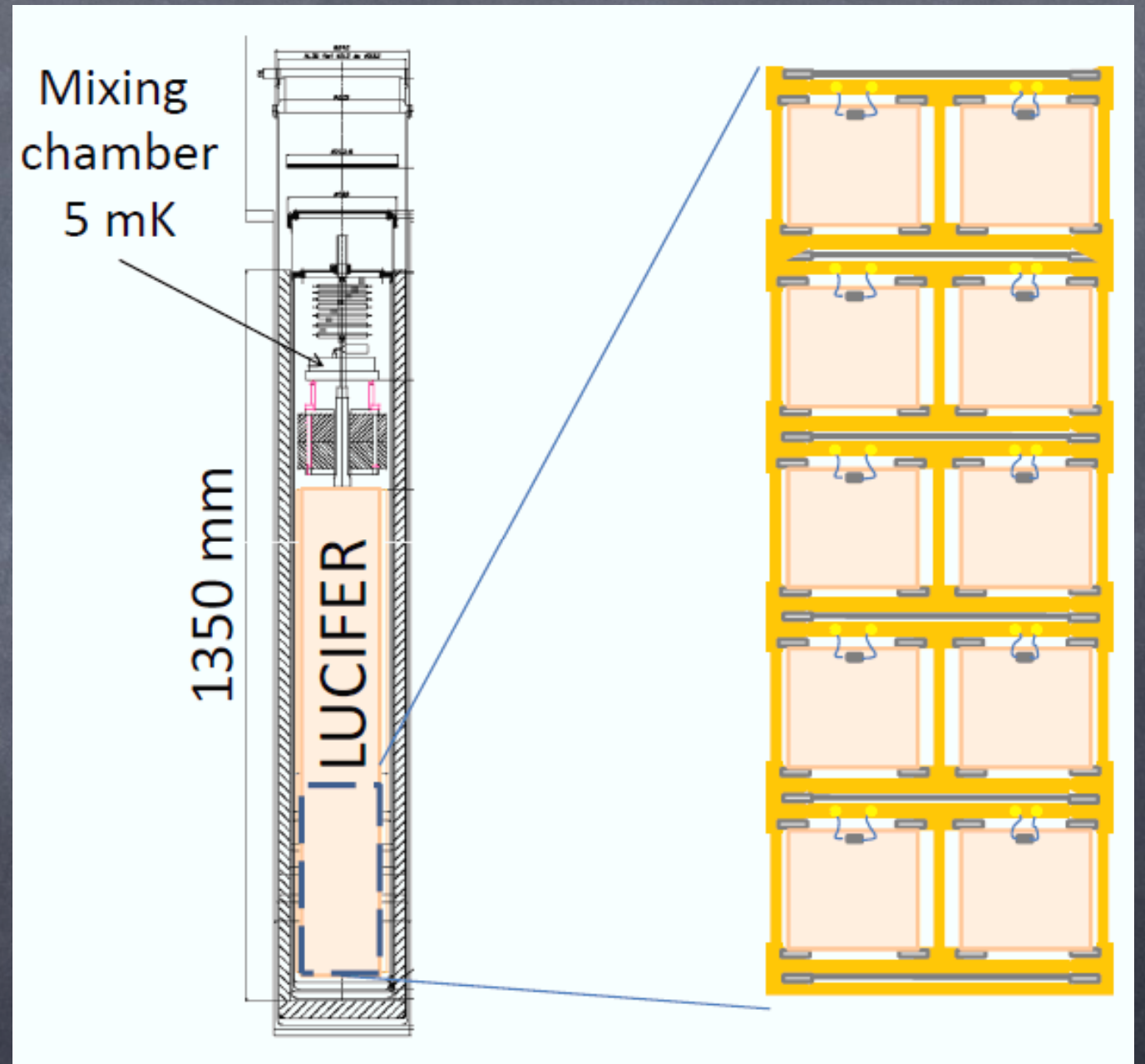
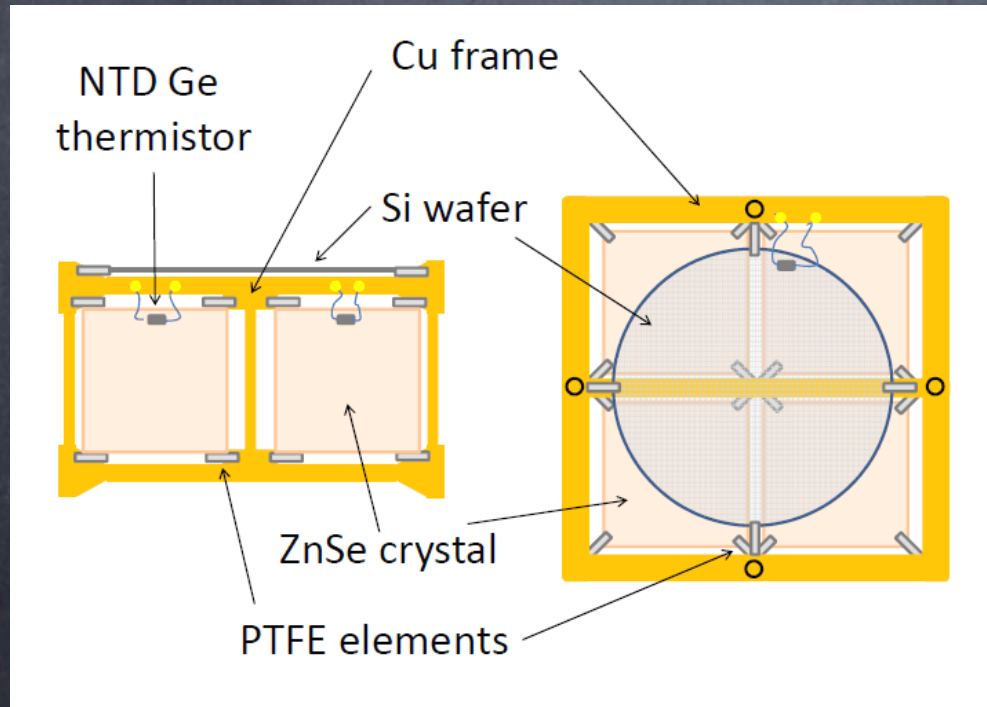
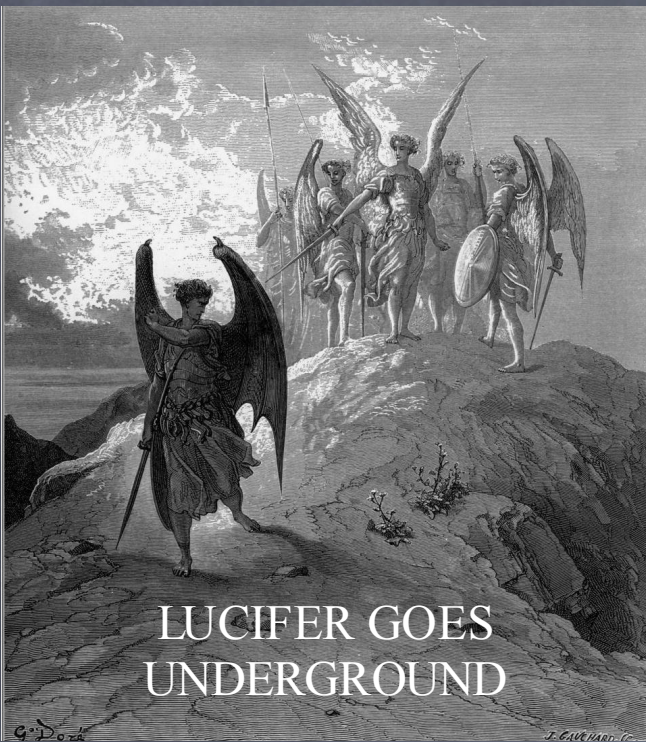
Astropart.Phys. 34 (2011) 344-353

ZnSe scintillating bolometers for Double Beta Decay

LUCIFER

Low-background Underground Cryogenic Installation For Elusive Rates

ERC-2009-AdG 247115



La sensibilita' attesa

$$\sqrt{\frac{M}{B \cdot \Delta E}} \quad (\text{i.a.} \cdot \varepsilon)$$

👁 Cuoricino	1.8	(VERA)
👁 CUORE	21	(ne ottimista ne pessimista)
👁 Gerda(1)	5.2	(ragionevolmente vera)
👁 SuperNemo	25	(tutta da dimostrare)
👁 Lucifer	18	(ottimista) [ma 1 Ton > 100 !]